

RÉVISION DES *RALYTUPA*
DE LA RÉGION ÉTHIOPIENNE
[DIPTERA MYCETOPHILIDAE]

PAR

LOIC MATILE

I. — INTRODUCTION

EDWARDS (1929) a établi le sous-genre *Ralytupa*, dans les *Orfelia* COSTA (= *Platyura* auct., non MEIGEN), pour *Platyura pendleburyi* EDW., de la péninsule malaise, et quelques espèces non décrites d'Afrique. *O. pendleburyi* est longtemps resté le seul *Ralytupa* connu, puisque ce n'est que quelque quarante ans plus tard (MATILE, 1970) que furent attribués à ce taxon *O. woltheri* (LINDNER), d'Afrique orientale, et quatorze espèces nouvelles du Cameroun et de République Centrafricaine. Six autres espèces ont été décrites depuis, de Tanzanie (MATILE, 1973 a), de diverses régions d'Afrique occidentale et équatoriale (MATILE, 1973 b, 1974 a) et de la République d'Afrique du Sud (MATILE, 1974 b). L'étude des Collections communiquées par diverses Institutions me permet d'établir ici l'existence de quinze nouvelles espèces, ce qui fait de ce groupe l'un des plus diversifiés de la région éthiopienne chez les *Mycetophilidae*, et le plus riche au sein de la sous-famille des *Keroplatinae*.

J'ai pu examiner jusqu'ici plus de 300 exemplaires de *Ralytupa*; bien qu'à n'en pas douter de nombreuses espèces restent à découvrir dans la région éthiopienne, le moment paraît venu de présenter une révision de ce groupe, avec une clé de détermination des espèces. Ce m'est un agréable devoir de remercier ici à cette occasion les personnalités qui ont bien voulu me confier le matériel dont ils avaient la charge ou qu'ils ont récolté : Dr. P.-H. ARNAUD JR. (Californian Academy of Science, San Francisco, U.S.A.), Prof. P. BRINCK (Université de Lund, Suède), M. G. COUTURIER (ORSTOM, Adiopodoumé, Côte d'Ivoire), Drs P. FREEMAN (British Museum, Londres, Grande-Bretagne), R. GAGNÉ (U.S. National Museum, Washington, U.S.A.), A. M. HUTSON (British Museum, Londres, Grande-Bretagne), D. LACHAISE (ORSTOM, Lamto, Côte d'Ivoire), Prof. E. LINDNER (Museum für Naturkunde, Stuttgart, R.F.A.), Prof. J. T. MEDLER (Université d'Ile-Ife, Nigeria), Drs. P. J. SPANGLER (U.S. National Museum, Washington, U.S.A.), B.R. STUCKENBERG (Natal Museum, Rép. d'Afrique du Sud) et J. R. VOCKEROTH (Biosystematic Research Institute, Ottawa, Canada).

II. — POSITION SYSTÉMATIQUE DES RALYTUPA ET DES TAXA VOISINS

Lorsqu'EDWARDS, en 1929, révisa les *Platyura* s.l. (= *Orfelia*), il mit au rang subgénérique les genres *Micrapemon* EDW., *Proceroplatus* EDW., *Monocentrotia* EDW. et *Isoneuromyia* BRUNETTI, qu'il considérait comme distincts en 1925, tandis qu'il établissait de nombreux nouveaux sous-genres, dont les *Ralytupa*. Cependant, le grand spécialiste ne manquait pas d'écrire que la plupart des 19 sous-genres pourraient être considérés par beaucoup comme des genres valides, et qu'il ne les conservait à l'échelon inférieur que pour des raisons de commodité ('... it would be more convenient...' écrit-il à deux reprises). En 1941, EDWARDS rétablit les représentants britanniques de ces groupes (*Monocentrotia*, *Isoneuromyia*, *Neoplatyura* EDW., *Pyratula* EDW., *Urytalpa* EDW. et *Rutylapa* EDW.) au niveau générique. Assez curieusement, aucun chercheur n'a suivi ultérieurement les dernières conclusions auxquelles était arrivé celui qui, assurément, a le mieux connu la faune mondiale des *Mycetophilidae*. Il semble peu douteux que si la mort n'avait interrompu son œuvre, EDWARDS aurait traité le groupe *Orfelia* selon ses dernières vues et que l'usage en aurait été suivi par la plupart.

La validité de *Monocentrotia*, cependant, a été acceptée par plusieurs auteurs (SÉGUY, 1940; STACKELBERG, 1960; MATILE, 1974 a), encore que LANE (1959) l'aie mis à tort en synonymie avec *Pseudoplatyura* SKUSE; STACKELBERG (op. cit.) et LANE (1956) ont également maintenu *Isoneuromyia*. J'ai eu l'occasion de rétablir aussi *Proceroplatus* (MATILE, 1974 a) mais j'ai continué jusqu'ici, pour des raisons pratiques, à traiter comme sous-genres les autres taxa appartenant aux *Orfelia* s. l. J'ai maintenant pu étudier un matériel important, principalement paléarctique et éthiopien, et je pense que cette position conservatrice n'est plus justifiée. Les caractères qui les séparent (au moins leurs représentants dans les deux régions mentionnées) d'*Orfelia* s. str. (espèce-type : *Platyura fasciata* MEIGEN), et qui les distinguent les uns des autres, sont bien plus tranchés que ceux utilisés par TUOMIKOSKI (1966) pour certains de ses *Exechiini*, et tout autant que ceux qui m'ont amené à rétablir *Cerotelion* RONDANI, *Heteropterna* SKUSE et *Euceroptatus* EDW. au sein des *Keroplatus* s.l. (MATILE et BURGHELE-BALACESCO, 1969; MATILE, 1970).

Ce changement de statut dans le groupe *Orfelia* aurait sans doute été mieux à sa place au sein d'une révision générique des *Keroplatinae*. Les éléments nécessaires à celle-ci sont actuellement en voie de rassemblement, mais tout montre qu'il s'agit d'une tâche de longue haleine. Les espèces-types de tous les genres fossiles et actuels devront être examinées, et le statut de plusieurs taxa connus par un matériel peu abondant, parfois réduit à un exemplaire unique, reste encore incertain; quelques-uns semblent nouveaux, mais ne sont représentés que par des femelles et doivent donc attendre de nouvelles récoltes. Dans ces conditions, et aussi devant le nombre d'espèces inédites à décrire, il m'a paru préférable de prendre position sur les groupes les uns après les autres, et d'en faire connaître leurs représentants dans la région éthiopienne. Attendre l'achèvement de la révision générique des *Keroplatinae* pour élever les sous-genres d'*Orfelia*

au niveau générique provoquerait l'apparition d'un grand nombre de combinaisons nouvelles dont il me semble qu'elles encombreraient indûment la littérature.

Les *Ralytupa*, tels qu'ils sont définis plus loin, se séparent de tous les autres genres ou sous-genres de *Keroplastini* par l'ensemble suivant de caractères : trois ocelles, antennes normales, de 2 + 14 articles. Palpes de trois articles, pièces buccales courtes. Pleurotergites nus, des soies prospiraculaires postérieures, pas d'antérieures. Postnotum cilié latéralement, sans soies apicales. Microchètes tibiaux disposés en rangées régulières toutes semblables. Ailes : base de la médiane absente, costale ne dépassant pas R5, R4 se terminant sur la costale, nervures M1, M2, M3 et Cu1 dépourvues de microchètes.

Le genre apparemment le plus proche de *Ralytupa* est *Rutylapa* EDW.; LANE (1950) a d'ailleurs mis ces deux taxa en synonymie. Ils se séparent cependant par un caractère important, la nervure costale dépassant largement R5 chez *Rutylapa*, ainsi que par la localisation de la ciliation postnotale; les pièces génitales ♂♂ sont également de type différent, le protarse antérieur en général plus long, les éperons du tibia médian plus réduits. Je pense donc comme COLLESS (1966) ne pas devoir accepter la synonymie de LANE. Notons aussi que les espèces actuellement incluses dans les *Rutylapa* semblent assez hétérogènes; notamment les deux espèces malgaches et l'une des espèces orientales (*R. binocellifera* EDW.) n'y paraissent pas à leur place.

III. — TERMINOLOGIE

La nomenclature des différents sclérites de la tête, du thorax et de l'abdomen des *Mycetophilidae* n'a pas encore été revue en fonction des travaux morphologiques récents. La morphologie cuticulaire des différents états des *Keroplastinae* fera l'objet d'un travail ultérieur et il serait prématuré d'établir dans une simple révision de genre des homologues pour lesquelles j'estime manquer encore de données. Comme il est cependant indispensable que le lecteur sache à quelles structures exactement s'appliquent les termes employés, il trouvera fig. 1-8 des dessins semi-schématiques les illustrant.

Je me suis servi le plus souvent des noms jusqu'ici couramment employés par les divers auteurs ayant étudié plus particulièrement les *Mycetophilidae*. J'ai cependant éliminé quelques termes impropres en me basant surtout sur le glossaire récent des *Culicidae* publié par KNIGHT (1970) et KNIGHT & LAFFOON (1970-1971). La terminologie employée sera donc quelque peu hétérogène, puisque envisagée surtout d'après son usage dans la diagnose systématique. C'est ainsi, par exemple, que si le terme de « mésonotum » a été remplacé par celui, plus correct, de « scutum », l'expression « bandes mésonotales » a été préférée à « bandes scutales », puisque c'est celle traditionnellement employée dans les travaux systématiques et que de toutes façons le scutellum et le postnotum (qui forment avec le scutum

le mésonotum morphologique) sont toujours dépourvus de bandes longitudinales dans le groupe envisagé.

IV. — REDÉFINITION DU GENRE

Genre *Ralytupa* EDWARDS, stat. nov.

Platyura, subg. *Ralytupa* EDWARDS, 1929 : 171. Espèce-type : *Platyura pendleburyi* EDWARDS, 1928 (dés. orig.)

Orfelina, subg. *Ralytupa* : MATILE, 1970 : 798.

♂ ♀. Tête (fig. 1). — Trois ocelles. Occiput portant des soies courtes et couchées; sillon frontal faible à bords mousses. Antennes de 2 + 14 articles, scape et pédicelle globuleux, ciliés ventralement de courtes soies sombres; flagelle : articles courts et épais, les articles médians le plus souvent près de deux fois plus larges que longs (7 : 4 chez l'espèce-type), parfois aussi longs que larges (*R. fissiterga* MAT.); dernier article flagellaire allongé, lancéolé. Yeux pubescents, nettement encochés au niveau de la base antennaire; le front porte à ce niveau une arête transversale (fig. 1, af). Face étroite, ciliée ventralement. Palpes de trois articles (non compris le palpifère); premier article très court, le suivant double du premier, le troisième plus long et plus mince, environ double du second.

Thorax (fig. 2). — Pronotum bien développé, rétréci en arrière sur la ligne médiane; prosternum nu. Scutum portant des soies courtes, montrant souvent, et en particulier chez l'espèce-type, de larges bandes dénudées de part et d'autre de la ligne médiane (bandes paracrosticales), ces bandes parfois réduites ou absentes. Scutellum petit, semi-circulaire, avec des soies marginales courtes et des cils additionnels s'étendant plus ou moins sur le disque. Postnotum fortement saillant, pointu à l'apex, portant à la base deux plages latérales étendues couvertes de cils courts et couchés. Pleures : pleurotergite saillant, dénudé; hypopleure avec une petite aire ciliée; anépisternite cilié en haut, le nombre des cils parfois réduit. Des soies postérieures le long du stigmate antérieur.

Pattes. — Hanches I ciliées à la face antéro-externe, II à la face antérieure; III avec des soies externes, pas de soies postérieures. Microchètes tibiaux disposés en rangées régulières toutes semblables; éperons 1 : 2 : 2, les externes II-III beaucoup plus courts que les internes, un peu plus grands que le diamètre du tibia. Macrochètes tibiaux normalement développés. Protarse I un peu plus long, ou plus court, que le tibia correspondant. Griffes moyennement développées, dentées à la base.

Ailes (fig. 3). — Costale ne dépassant pas R5 et n'atteignant pas l'apex de l'aile. Sous-costale courte, se terminant sur la costale non loin du niveau de la base de R; sc2 présente, située dans le tiers basal de sc (mesuré à partir de la transverse humérale). R1 longue, subrectiligne, R5 courbée à l'apex. R4 se terminant sur la costale dans le premier tiers de l'intervalle R1-R5. Pétiole de la fourche médiane de longueur variable par rapport à celle de la fusion radio-médiane, chez l'espèce-type, un peu plus court (1,8 : 2,1). M2 et M3 interrompues avant la marge de l'aile.

Cu2 bien développée. Anale longue et fine, interrompue avant la marge. Ciliation, face dorsale : costale, R1 et R5 ciliées, le reste des nervures nu.

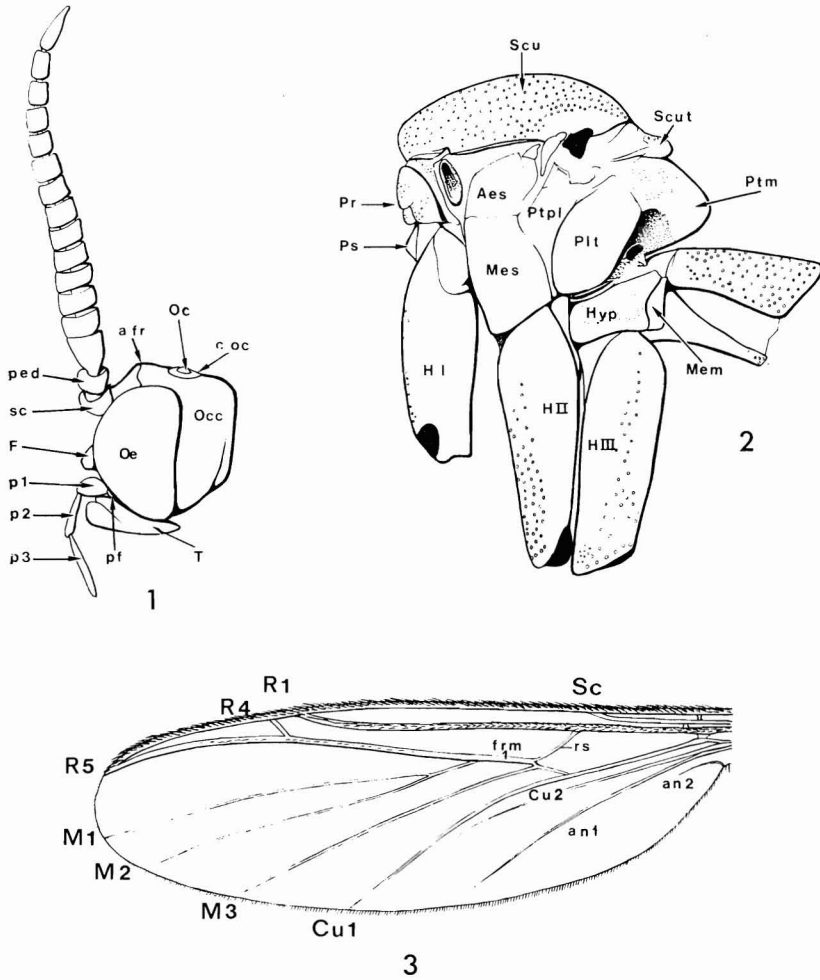


FIG. 1-3. — Fig. 1 : *Ralytupa* sp., tête, vue latérale; fig. 2 : *R. gromieri* (MAT.), thorax, vue latérale; fig. 3 : *id.*, aile. — Aes = anépisternite; afr = arête frontale; C oc = calus ocellaire; F = face; frm = fusion radio-médiane; H I, II, III = hanches; Hyp = hypopleure; Mem = métaméron; Mes = mésépisternite; Oc = ocelle; Occ = occiput; p1, p2, p3 = 1^{er}, 2^e et 3^e article des palpes; ped = pédicelle; pf = palpifère; Plt = pleurotergite; Pr = pronotum; Ps = prosternum; Ptm = postnotum; Ptp1 = ptéropleure; sc = scape; Scu = scutum; Scut = scutellum; T = trompe.

Abdomen. — Cylindrique plus ou moins aplati dorso-ventralement. Dernier segment abdominal visible : ♂, VII, ♀, VII. ♂ : segment VIII petit, rétracté dans le VII, ce dernier de taille normale.

Genitalia ♂ (fig. 4-5). — Hypopyge capable de mouvements rotatoires. Édéage bien développé, mais ne dépassant pratiquement pas la base des gonocoxopodites. Tergite IX grand, recouvrant presque entièrement dorsalement les gonocoxopodites, souvent prolongé en pointe plus ou moins aiguë distalement, la forme du tergite bien caractéristique au niveau spécifique. Sternite IX et gonocoxopodites fusionnés, l'ensemble fermé ventralement, plus ou moins encoché distalement sur la ligne médiane. Styles articulés au bord apical des gonocoxopodites, de forme relativement simple, mais variée : lamelliformes, divisés apicalement en un lobe ventral et un

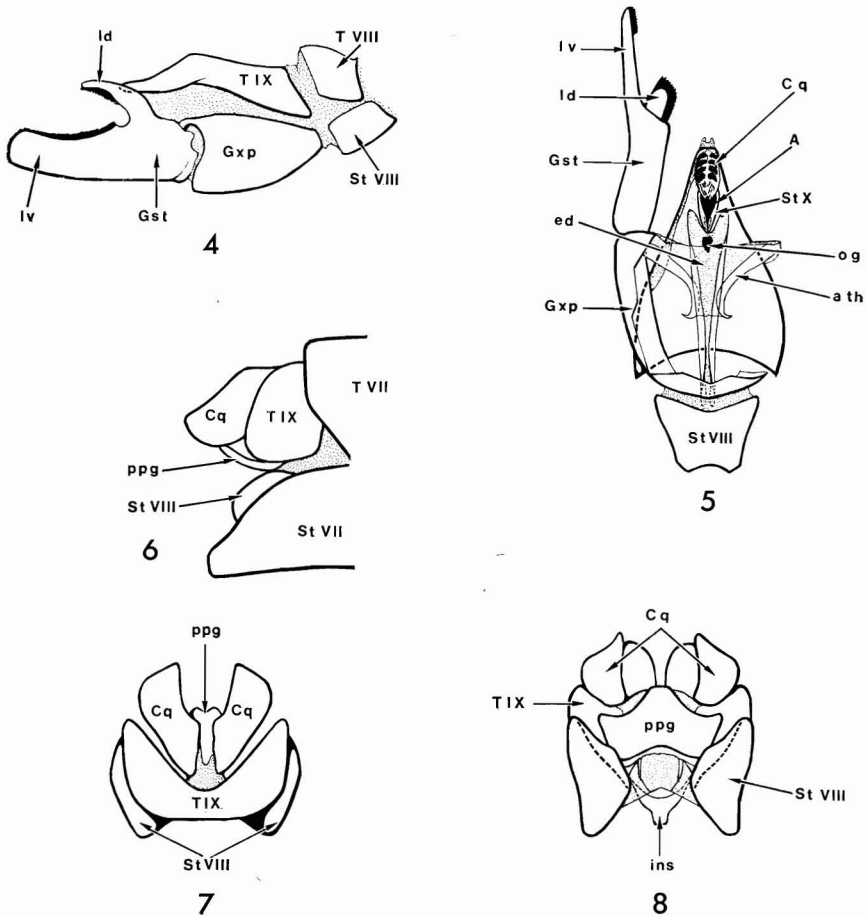


FIG. 4-8. — Fig. 4 : *R. gromieri* (MAT.), hypopyge ♂, vue latérale; fig. 5 : *id.*, vue ventrale, gonocoxopodites en grande partie enlevés; fig. 6 : *R. gromieri* (MAT.), ovipositeur ♀, vue latérale; fig. 7 : *id.*, vue dorsale; fig. 8 : *id.*, vue ventrale. — A = anus; a th = apodème thécale; Cq = cerque; ed = édéage; Gst = gonostyle; Gxp = gonocoxopodite; ins = insula; ld = lobe dorsal du gonostyle; og = ouverture génitale; ppg = plaque postgénitale; St VII, VIII, X = sternites VII, VIII, X; T VII, VIII, IX = tergites VII, VIII, IX.

lobe dorsal d'importance relative variable suivant les groupes, ou portant des processus spiniformes apicaux ou marginaux, ou encore massifs et élargis à l'apex. Chez la plupart des espèces, les styles portent de fortes soies sombres formant des coussinets, des brosses ou des rangées bien différenciées.

Genitalia ♀ (fig. 6-8). Tergite VIII entièrement membraneux, non différencié. Tergite IX bien développé; cerques uniarticulés. Sternite VIII grand, divisé en deux lobes reliés ventralement par une aire membraneuse; marges internes rebordées apicalement. Insula présente.

Biologie et larves inconnues.

RÉPARTITION GÉOGRAPHIQUE. — L'espèce-type du genre, *R. pendleburyi* EDWARDS (*), a été décrite de Thaïlande et son holotype reste jusqu'ici le seul exemplaire connu de la Région orientale. En ce qui concerne la Région éthiopienne, les *Ralytupa* occupent, dans l'état actuel de nos connaissances, une aire de dispersion allant de la Sierra-Leone à la Tanzanie, de part et d'autre de l'Equateur. (fig. 9). Cette répartition correspond à peu près à l'aérotypage guinéen typique (*sensu* BERNARDI, 1966), mais il existe

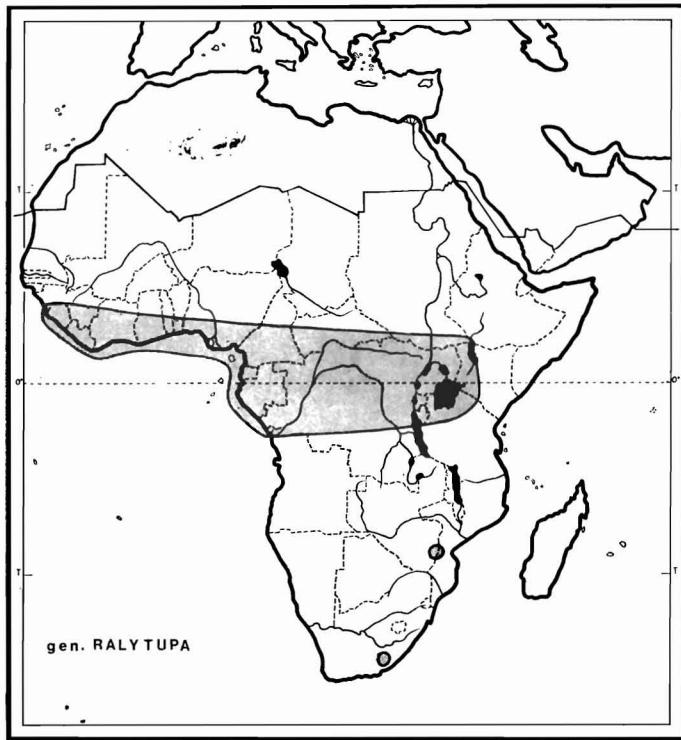


FIG. 9. — Répartition des *Ralytupa* dans la Région éthiopienne, en l'état actuel des connaissances.

(*) n. comb. : *Platyura pendleburyi* EDWARDS, 1928 : 3.

cependant une espèce sud-africaine (*R. denticulata*, n.sp.) et une espèce rhodésienne (une ♀, S. Rhodesia, Chirinda Forest, Mt Selinda, 25.I.1955, au British Museum). Le genre semble absent dans la sous-région malgache. Le peu de matériel d'Afrique orientale dont nous disposons ne nous permet pas de conclure sur la nature réelle de la répartition de ce genre; tout porte à croire cependant, qu'il est confiné aux régions forestières humides du Continent.

TAXINOMIE. — Les genitalia ♂♂ des *Ralytupa* permettent de séparer un certain nombre d'espèces en plusieurs groupes distincts.

Groupe *R. danielae* (*R. danielae*, *flaviscapularis*, *lindneri* et *simpli-cistyla*). Tergite IX arrondi à l'apex. Styles portant une touffe de soies apicales serrées, les styles simples ou encochés à l'apex et portant à ce niveau une ou plusieurs dents plus ou moins prononcées (un véritable bec chez *R. danielae*) (fig. 22-29). Chez ces quatre espèces, le scutum porte de larges bandes dénudées paracrosticales et les ailes sont assombries au moins à l'apex.

Groupe *R. subminor* (*R. flavonigra*, *major*, *medleri*, *melanopyga*, *minor*, *subminor*). Styles massifs, élargis à l'apex, où ils portent un large coussinet de soies très serrées. Lobes dorsal et ventral peu individualisés, le ventral formant un bec interne plus ou moins prononcé. Tergite IX prolongé en pointe ou en mucron apical (sauf *R. medleri*) (fig. 30-41). Ces espèces ont les ailes plus ou moins fortement brunies à l'apex, et l'hypopyge brun ou noir.

Groupe *R. gromieri* (*R. angusta*, *gromieri*, *insidiosa*, *theobromaphila*). Tergite IX avec un lobe apical de grande taille. Styles divisés en deux lobes par une profonde encoche, le lobe dorsal court, le ventral allongé et étroit (fig. 42-49). Ce groupe est très homogène et les diverses espèces ne se distingueront avec certitude que par l'examen des genitalia. Ce sont tous des insectes uniformément jaunes ou roux, sauf l'hypopyge, brun ou noir, et parfois des taches mésonotales peu distinctes. Les bandes paracrosticales sont nettes et les ailes unicolores.

Groupe *R. penicillata* (*R. compacta*, *penicillata*, *virgulta*). Styles très massifs, divisés en deux lobes dont le dorsal est fortement élargi à l'apex (fig. 50-55). Les espèces de ce groupe sont caractérisées aussi par le protarse I de même longueur que le tibia I. Le thorax et l'abdomen sont unicolores, les bandes paracrosticales nettes, l'hypopyge brun ou roux. Ce groupe semble particulier à l'Afrique occidentale (Côte d'Ivoire, Nigeria, Ghana).

Groupe *R. issongo* (*R. funebris*, *grahami*, *issongo*). Tergite IX triangulaire arrondi. Styles simples, parfois avec un bec latéral, portant à la face interne de nombreuses soies longues et peu serrées (fig. 56-61). Ce groupe est bien homogène, composé de *Ralytupa* de coloration sombre, sans bandes paracrosticales, et aux ailes assombries à l'apex.

Groupe *R. woltheri* (*R. bacillata* et *woltheri*). Tergite IX prolongé distalement par un lobe arrondi. Styles divisés en deux lobes distincts, le ventral portant un mince bec dénudé (fig. 62-65). Afrique orientale (Uganda, Tanzanie).

V. CLÉ DES *Ralytupa* DE LA RÉGION ÉTHIOPIENNE

1. Scutum entièrement, ou dans sa plus grande partie, brun ou noir. 2
- Scutum jaune, orangé ou roux, avec ou sans bandes sombres 9
2. Scutum entièrement brun ou noir, sans taches jaunes 3
- Au moins le quart antérieur du scutum jaune 7
3. Occiput entièrement noir ou brun. Pas de bandes mésonotales longitudinales 4
- Occiput jaune; trois bandes mésonotales noires. ♂, hypopyge, fig. 33
. *flavonigra* (MAT.)
4. Tergites abdominaux sans bandes jaunes; face uniformément sombre. 5
- Tergites abdominaux IV et V portant une large bande basale jaune; face jaune, brunie au centre. ♂, hypopyge : fig. 23. *lindneri* (MAT.)
5. Fémurs entièrement jaunes; calus huméraux jaunes, plus ou moins brunis. Pas de bandes paracrosticales. 6
- Fémurs II et III fortement brunis sur le quart apical; calus huméraux brun noir; bandes paracrosticales nettes et longues. ♂, hypopyge : fig. 74. *fissiterga* (MAT.)
6. Pleures jaunes; ailes jaunes, indistinctement enfumées dans la moitié apicale (♂). ♂, hypopyge : fig. 58. *grahami*, n. sp.
- Pleures en grande partie bruns; ailes brunes (♂), ou bien jaunes et largement brunies à la marge postérieure et à l'apex (♀). ♂, hypopyge : fig. 57.
♀, ovipositeur : fig. 107 *funebriis* (MAT.)
7. Ailes distinctement brunies à l'apex. ♂ : hypopyge brun ou noir. 8
- Ailes sans marques brunes. ♂ : hypopyge roux (fig. 69). *bifaria*, n. sp.
8. Protarse I plus long que le tibia I; balanciers brunis; pétiole de la fourche médiane un peu plus court que la fusion radio-médiane. ♂, hypopyge : fig. 25. ♀, ovipositeur : fig. 99. *flaviscapularis* (MAT.)
- Protarse et tibia I de même longueur; balanciers jaunes; pétiole de la fourche médiane deux fois plus court que la fusion radio-médiane. ♂, hypopyge : fig. 73 *dentata*, n. sp.
9. Segments génitaux (♂ ♀), en dehors des épines et des soies, jaunes à orangés 10
- Segments génitaux bruns à noirs (fig. 10). 22
10. Protarse et tibia I égaux 11
- Protarse I plus long que le tibia 14
11. Ailes jaunes, au plus légèrement enfumées à l'apex. 12
- Ailes distinctement assombries à l'apex. 13
12. Scutum portant une seule ligne médiane brune, prolongée sur le scutellum et le postnotum. ♂, hypopyge : fig. 68. *pugiata*, n. sp.
- Scutum avec trois bandes rousses plus ou moins distinctes; scutellum et postnotum unicolores. ♂, hypopyge : fig. 72; ♀, ovipositeur : fig. 106 *denticulata* (MAT.)
13. Sc se terminant au niveau de la base de Rs. ♂, hypopyge : fig. 52. *virgulta*, n. sp.
- Sc se terminant distinctement avant la base de Rs. ♂, hypopyge : fig. 50
. *penicillata*, n. sp.

14. Abdomen dépourvu de bandes sombres; ailes sans tache pré-apicale, mais pouvant être plus ou moins enfumées à l'apex 16
 — Au moins les tergites abdominaux II-III avec une bande apicale brune (fig. 20); ailes avec une tache pré-apicale concave en dehors (fig. 11). ♂, hypopyge : fig. 35; ♀, ovipositeur : fig. 102 *major* (MAT.) ♀ et f. *scalaris* ♂
15. Scutum unicolore, ou au plus deux taches préscutellaires rousses 16
 — Scutum avec trois bandes longitudinales sombres plus ou moins développées 19
16. Petites espèces (longueur de l'aile inférieure à 4,4 mm); pas de bandes paracrosticales..... 17
 — Espèces plus grandes (longueur de l'aile : au moins 4,7 mm); bandes paracrosticales nettes, étendues sur la moitié du scutum..... 18
17. Protarse I à peine plus long que le tibia (5,5 : 5). Fusion radio-médiane près du double du pétiole de la fourche médiane (1,9 : 1). ♂, hypopyge : fig. 76; ♀, ovipositeur : fig. 104 *nasuta*, n. sp.
 — Protarse I plus long (4 : 3,2); fusion radio-médiane plus courte (2,2 : 1,7). ♀, ovipositeur : fig. 108 *flavida* (MAT.)
18. Ailes brunies à l'apex et à la marge postérieure. Pétiole de la fourche médiane et fusion radio-médiane égaux. ♂, hypopyge : fig. 22; ♀, ovipositeur : fig. 98 *danielae* (MAT.)
 — Ailes jaunes. Fusion radio-médiane plus longue que le pétiole de la fourche médiane. ♀, ovipositeur : fig. 81 (♂ : hypopyge brun).... *insidiosa* (MAT.)
19. Flagelle antennaire clair, au plus brun à l'apex; scutellum en grande partie clair 20
 — Flagelle antennaire brun, sauf la base du 1^{er} article; scutellum brunâtre. ♀, ovipositeur : fig. 82 *vittigera* (MAT.)
20. Petites espèces (longueur de l'aile : 4 mm au plus); ailes légèrement enfumées à l'apex 21
 — Grande espèce (ailes supérieures à 4,6 mm); ailes entièrement jaunes. ♀, ovipositeur : fig. 81 (♂ : hypopyge brun)..... *insidiosa* (MAT.)
21. Pas de bandes dénudées paracrosticales. ♂, hypopyge : fig. 56... *issongo* (MAT.)
 — Bandes paracrosticales distinctes, prolongées sur près de la moitié du scutum. ♂, hypopyge : fig. 26; ♀, ovipositeur : fig. 100..... *simplicistyla*, n. sp.
22. Ailes avec une tache brune apicale ou préapicale bien distincte..... 23
 — Ailes jaunes, unicolores ou légèrement enfumées à l'apex..... 25
23. Ailes brunies à l'apex (fig. 12)..... 24
 — Ailes avec une grande tache brune préapicale, concave en dehors, apex non brun (fig. 11). ♂, hypopyge : fig. 35; (♀ : ovipositeur clair).. *major* (MAT.), ♂
24. Scutum avec trois bandes longitudinales brun rouge, très nettes. Fusion radio-médiane double du pétiole de la fourche médiane; abdomen jaune orangé. ♀, ovipositeur : fig. 109..... *fumidapex* (MAT.)
 — Bandes mésonotales peu distinctes ou plus ou moins effacées; fusion radio-médiane un tiers plus longue que le pétiole de la fourche médiane; abdomen brun rougeâtre. ♂, hypopyge : fig. 62..... *woltheri* (LINDN.)
25. Protarse et tibia I égaux 26
 — Protarse I plus long que le tibia 27

26. Segments génitaux d'un noir profond (♂ ♀). ♂, hypopyge : fig. 75; ♀, ovipositeur : fig. 77 *assimilis* (MAT.)
 — Hypopyge brun (♀ inconnue). ♂, hypopyge : fig. 51 *compacta*, n. sp.
27. Bandes paracrosticales nulles ou visibles seulement en avant; ailes légèrement enfumées à l'apex 28
 — Bandes paracrosticales nettes, étendues au moins sur le quart antérieur du scutum. Ailes enfumées ou non 30
28. Petites espèces (longueur de l'aile : 3,6 mm au plus)..... 29
 — Espèce plus grande (longueur de l'aile : 5,2 mm). ♂, hypopyge : fig. 32; ♀, ovipositeur : fig. 103 *melanopyga* (MAT.)
29. Fusion radio-médiane pas plus longue que le pétiole de la fourche médiane. ♂, hypopyge : fig. 31 *minor* (MAT.)
 — Fusion radio-médiane plus longue que le pétiole de la fourche médiane (1,2 : 0,9). ♂, hypopyge : fig. 30; ♀, ovipositeur : fig. 101..... *subminor*, n. sp.
30. ♂ ♂ 31
 — ♀ ♀ 37
31. Lobe dorsal des styles indistinctement séparé du ventral, et aussi long que ce dernier (fig. 65, 67), ou bien le style non distinctement divisé en deux lobes 32
 — Lobe dorsal des styles distinctement séparé du ventral, nettement plus étroit et plus court que ce dernier (fig. 42-45)..... 34
32. Style non distinctement bilobé; tergite IX non prolongé en pointe apicale. Fusion radio-médiane atteignant près du double du pétiole de la fourche médiane. ♂, hypopyge : fig. 34..... *medleri*, n. sp.
 — Style bilobé; tergite IX mucroné à l'apex (fig. 63, 66). Fusion radio-médiane plus courte 33
33. Lobe ventral du style prolongé par un processus en forme de bâtonnet (fig. 65). Fusion radio-médiane égale au pétiole de la fourche médiane. ♂, hypopyge : fig. 63 *bacillata*, n. sp.
 — Style dépourvu de processus ventral (fig. 67). Fusion radio-médiane plus longue que le pétiole de la fourche médiane (2,2 : 1,8). ♂, hypopyge : fig. 66 *pyrrophaea* (MAT.)
34. Lobe ventral du style aussi large à l'apex qu'à la base (fig. 46, 49); fusion radio-médiane et pétiole de la fourche médiane égaux ou subégaux 35
 — Lobe ventral du style distinctement rétréci à l'apex (fig. 47, 48); fusion radio-médiane nettement plus longue que le pétiole de la fourche médiane..... 36
35. Lobe ventral du style large (fig. 49). ♂, hypopyge : fig. 45.....
 *theobromaphila* (MAT.)
 — Lobe ventral étroit (fig. 46). ♂, hypopyge : fig. 43..... *angusta*, n. sp.
36. Lobe ventral progressivement rétréci, sans saillie distincte (fig. 47). ♂, hypopyge : fig. 42 *insidiosa* (MAT.)
 — Lobe ventral brusquement rétréci vers le milieu, formant une saillie interne (fig. 48). ♂, hypopyge : fig. 44..... *gromieri* (MAT.)
37. Cerques aigus à l'apex (fig. 93, 96)..... 38
 — Cerques obtus à l'apex (fig. 87, 90)..... 39

38. Cerques plus longs que larges (fig. 93)..... *insidiosa* (MAT.)
 — Cerques aussi longs que larges (fig. 96)..... *angusta*, n. sp.
39. Tergite IX grand (fig. 80); bord apical du sternite VIII subrectiligne
 (fig. 86) *gromieri* (MAT.)
 — Tergite IX plus petit (fig. 79); bord apical du sternite VIII sinueux
 (fig. 89) *pyrrhophaea* (MAT.)

VI. — ÉTUDE DES ESPÈCES

Ralytupa angusta, n. sp.

Holotype ♂. — Longueur de l'aile : 4 mm. Tête : occiput roux; calus ocellaire noir, bien délimité. Front roux dans sa partie dorsale, luisant, jaune roux ventralement. Antennes : scape, pédicelle et la plus grande partie du flagelle jaunes, les trois derniers articles bruns. Face et palpes jaunes.

Thorax : scutum roux; bandes nues paracrosticales nettes, dépassant le tiers antérieur du scutum. Scutellum et postnotum roux. Pleures jaunes. Hanches et pattes jaunes, tibias et tarses assombris, éperons bruns. Rapport protarse I/tibia I : 3,5/3,2. Ailes jaunes, sans taches. Pétiote de la fourche médiane et fusio radio-médiane subégales (1,5 : 1,4). Balanciers jaune roux.

Abdomen uniformément jaune roux. Hypopyge (fig. 43) brun; style : fig. 46.

Allotype ♀ semblable à l'holotype, mais présentant trois bandes longitudinales mésonotales rousses distinctes. Ovipositeur : fig. 78, 95, 96, 97.

VARIATIONS : Certains exemplaires présentent des bandes mésonotales longitudinales rousses plus ou moins distinctes; les antennes sont parfois moins distinctement brunies à l'apex que chez l'holotype.

Holotype ♂ : Sierra-Leone, Njala, ix.1933 (*E. Hargreaves*), au British Museum (Nat. Hist.). Allotype ♀ id., 27.viii.1929 (Brit. Mus.). Paratypes ♂♂ : Sierra-Leone, Njala, ix.1935, 1 ♂; 13.viii.1930, 1 ♂; 11-v.1932, 1 ♂; 27-viii-1929, 1 ♂; 11-viii-1929, 1 ♂ (*E. Hargreaves*); Nigeria, South, Oshogho, 1.13.1910, 1 ♂ (*Dr. T. F. G. Mayer*); South (sans localité), 1 ♂ (*W. M. Graham*); Uganda, Ruwenzori Range, Kilembe, 4 500 ft, xii.1934-1.1935, 1 ♂; tous ces paratypes au British Museum (Nat. Hist.), sauf trois au Muséum d'Histoire naturelle, Paris. Nigeria, Ibadan, Malaise trap (*D. C. Eidt*), 6.vii.1962, 1 ♂; 7.vii.1962, 2 ♂♂; 11.vii.1962, 1 ♂ : vii.1962, 1 ♂; 28.vii.1962, 1 ♂; 7.xi.62, 2 ♀♀; 15.xii.62, 1 ♀; 18.xii.1962, 1 ♂ 1 ♀; ces paratypes à l'Entomology Research Institute, Ottawa, sauf quatre au Muséum d'Histoire naturelle, Paris. Côte d'Ivoire, Grand Bereby, plantation d'*Hevea*, sur défrichement de forêt sempervirente, 29.iii.1974, 1 ♂ (ORSTOM, *G. Couturier*), Muséum d'Histoire naturelle, Paris.

Cette espèce largement répandue appartient au groupe *gromieri*, au sein duquel les ♂♂ se distinguent par le lobe ventral des styles, quadrangulaire, étroit, non rétréci à l'apex, et les ♀♀ par les cerques cordiformes.

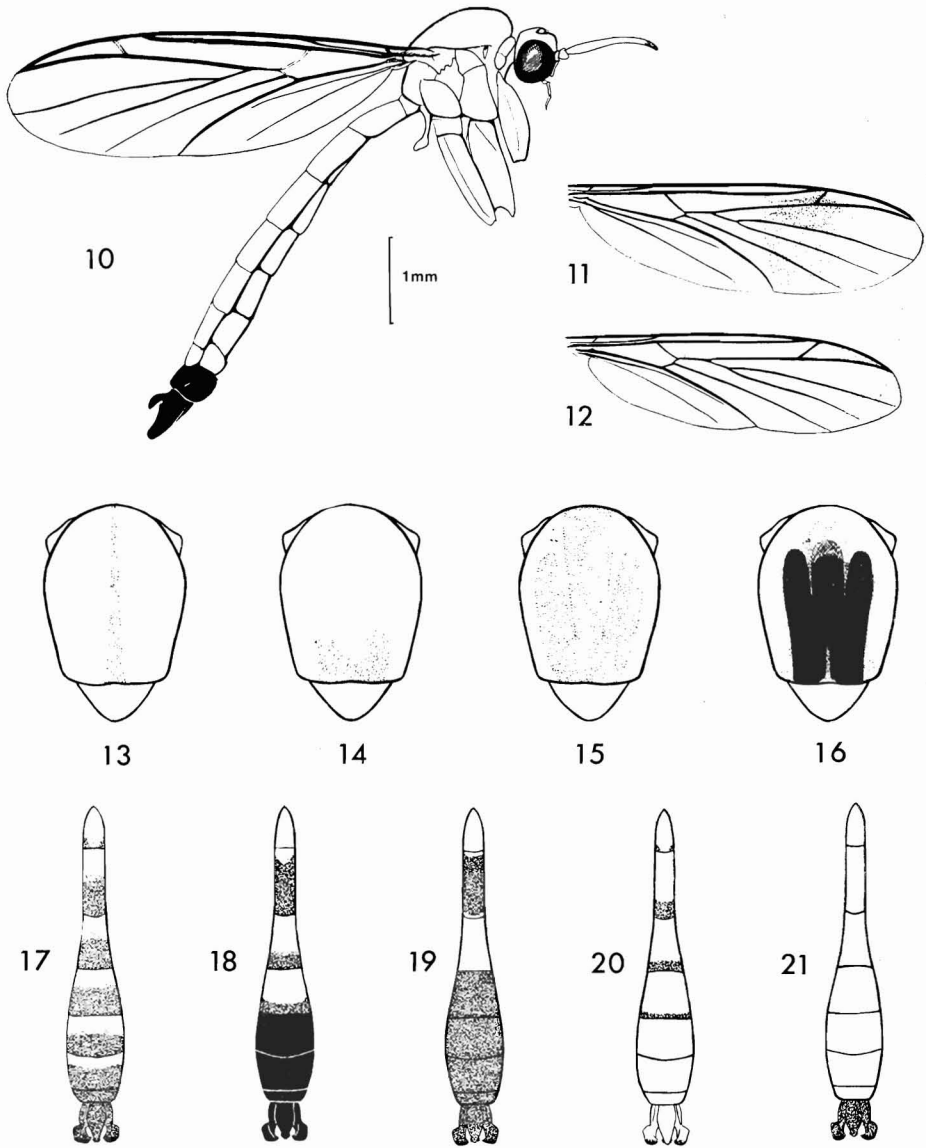


FIG. 10-21. — Fig. 10 : *R. gromieri* (MAT.), ♂, habitus; fig. 11 : *R. major* (MAT.), aile; fig. 12 : *R. fumidapex* (MAT.), aile; fig. 13 : *R. pugiata*, n. sp., ornementation thoracique; fig. 14 : *R. issongo* (MAT.), *id.*; fig. 15 : *R. simplicistyla*, n. sp., *ibid.*; fig. 16 : *R. major* (MAT.), *ibid.*; fig. 17 : *R. major* (MAT.), *f. typica*, ornementation abdominale; fig. 18 : d^o, *f. nigricauda*, *id.*; fig. 19 : d^o, *f. cincta*, *ibid.*; fig. 20 : d^o, *f. scalaris*, *ibid.*; fig. 21 : d^o, *f. bicolor*, *ibid.*

Ralytupa assimilis (MATILE), n. comb.

Orfelia (*Ralytupa*) *assimilis* MATILE, 1970 : 803 (♂, hypopyge, fig. 40); 1974 a : 937 (♀, ovipositeur, fig. 23, 26, 29).

♂ ♀. — Longueur de l'aile : 4,8-6,4 mm. Tête : occiput jaune orangé, luisant; calus ocellaire noir, très bien délimité. Front luisant, jaune orangé. Antennes : scape, pédicelle et la plus grande partie du flagelle jaune orangé, les six derniers articles progressivement assombris. Face et palpes jaunes.

Thorax : scutum jaune orangé, luisant; unicolore chez les ♂♂, avec deux taches brunes préscutellaires chez les ♀♀. Bandes paracrosticales larges, mais réduites en longueur. Scutellum, postnotum, pleures et hanches jaune orangé. Pattes jaunes, tarsi assombris; éperons noirs. Protarse et tibia I de même longueur. Ailes jaunes, sans taches. Chez les ♂♂, fusion radio-médiane 2,5 fois plus longue que le pétiole de la fourche médiane, cette dernière proportionnellement plus longue chez les ♀♀ (allotype : 2,5/1,6). Balanciers jaune orangé.

Abdomen jaune orangé. Hypopyge (fig. 75) d'un noir profond, ainsi que l'ovipositeur (fig. 73, 83, 85).

Holotype ♂ : République centrafricaine, La Maboké, 30.VIII.1967 (*L. Matile*); allotype ♀ : *id.*, 25.IX.1970 (d^o). Holotype et allotype au Muséum d'Histoire naturelle, Paris.

Localités publiées : localité type (*Matile*, 1970); *id.*, 17.IX.1970, 2 ♂♂, 1 ♀; 24.IX.1970, 1 ♂, 1 ♀; 25.IX.1970, 1 ♂ + ♀ allotype; 29.IX.1970, 2 ♂♂; 2.X.1970, 1 ♀ (*L. Matile*); Cameroun, Ouest, Kumba, 11.X.1949, 1 ♂ (*H. Oldroyd*) (*in* MATILE, 1974 a).

Nouvelle localité : Nigeria, Ogoja County, Ohuku, 11.IX.1962, *C. S. Ford* (n^o A 10127, *R. W. Meyer*).

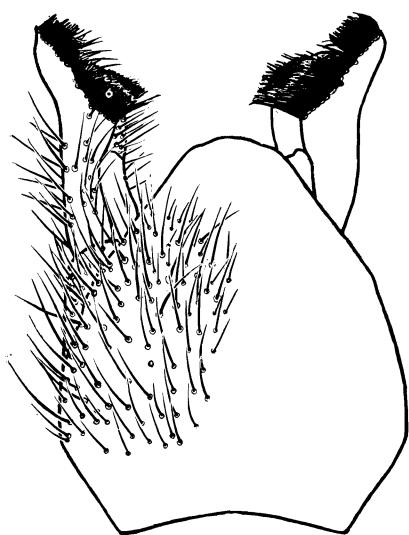
RÉPARTITION : Bloc forestier guinéo-congolais.

REMARQUE. — Les ♀♀ de *R. assimilis* seront assez difficiles à séparer de celles de *R. gromieri* (MAT.), vu la variabilité des caractères chromatiques; le moyen le plus sûr de les distinguer sera l'examen des différentes pièces de l'ovipositeur (fig. 83-85 et 86-88).

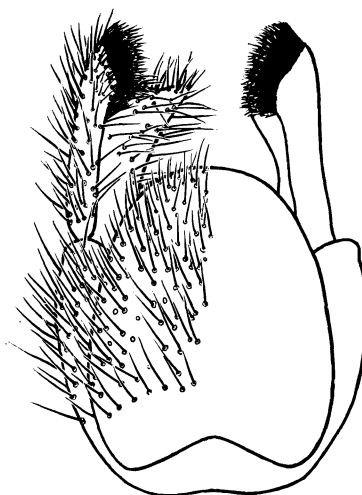
Ralytupa bacillata, n. sp.

Holotype ♂. — Longueur de l'aile : 4,2 mm. Tête : occiput jaune orangé, luisant; calus ocellaire noir, bien délimité. Antennes : scape et pédicelle jaune orangé, ainsi que le flagelle, sauf les quatre derniers articles, bruns. Face et palpes jaunes.

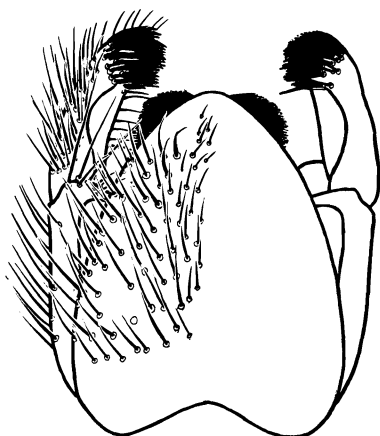
FIG. 22-29. — Fig. 22 : *R. danielae* (MAT.), hypopyge ♂, vue dorsale, × 80; fig. 23 : *R. lindneri* (MAT.), *id.*; fig. 24 : *R. simplicistyla*, n. sp., *ibid.*, × 113; fig. 25 : *R. flaviscapularis* (MAT.), *ibid.*, × 73; fig. 26 : *R. simplicistyla*, n. sp., style ♂, vue latérale × 206; fig. 27 : *R. lindneri* (MAT.), *id.*; fig. 28 : *R. danielae* (MAT.); *ibid.*; fig. 29 : *R. flaviscapularis* (MAT.), *ibid.*, × 117.



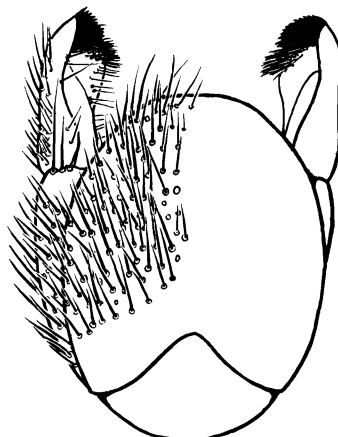
22



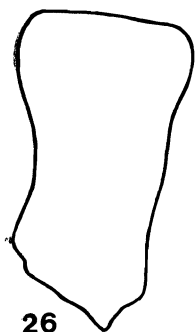
23



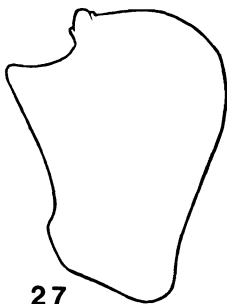
24



25



26



27



28



29

Thorax : scutum uniformément jaune orangé; bandes dénudées paracrosticales nettes, s'étendant sur le tiers antérieur du scutum. Scutellum, postnotum et pleures jaune orangé. Hanches et pattes jaunes, tarsi assombris, éperons noirs. Rapport protarse I/tibia I : 4/3,4. Ailes jaunes, sans taches. Longueur du pétiole de la fourche médiane semblable à celle de la fusion radio-médiane. Balanciers jaunes, capitule bruni.

Abdomen uniformément jaune orangé, mat. Hypopyge (fig. 63) brun; style : fig. 65.

Holotype ♂ : Uganda, Entebbe, 9.x.1909 (n° 667), au British Museum (Nat. Hist.).

Par la forme des styles ♂♂, cette espèce se rapproche de *R. woltheri* (LINDN.); elle s'en sépare, outre les pièces génitales, par le pétiole de la fourche médiane aussi long que la fusion radio-médiane (chez *R. woltheri*, il est nettement plus court).

Ralytupa bifaria, n. sp.

Holotype ♂. — Longueur de l'aile : 4,8 mm. Tête : occiput roux, luisant; calus ocellaire noir, non nettement délimité, relié à la marge oculaire par deux taches brunes. Front roux, marqué de noir au niveau de l'apex du calus ocellaire. Antennes : scape et pédicelle jaunes; face externe du flagelle : les sept premiers articles roux, le huitième roux à la base, brun noir à l'apex, les suivants brun noir; face interne : les cinq premiers articles roux, largement tachés de brun noir au milieu, le reste brun noir. Face et palpes jaunes.

Thorax : scutum luisant, noir bleuâtre sur les deux tiers postérieurs, le tiers antérieur et les calus huméraux jaunes. Bandes nues paracrosticales s'étendant sur la moitié antérieure du scutum, portant quelques microchètes dispersés sub-antérieurs. Scutellum noirâtre, deux petites taches externes jaunes. Postnotum jaune, ainsi que les pleures. Hanches jaune orangé, fémurs jaunes, tibiai et tarsi assombris; éperons noirs. Rapport protarse I/tibia I : 4/3,8. Ailes jaunes, sans taches. Pétiole de la fourche médiane plus court que la fusion radio-médiane (0,7 : 1,1). Balanciers jaune roux.

Abdomen roux, légèrement luisant, hypopyge (fig. 69) concolore.

VARIATIONS : un paratype montre des antennes beaucoup moins assombries : seuls les 5 derniers articles sont brun noir, à la face externe, et brun clair à la face interne. Le deuxième paratype a le flagelle antennaire entièrement roux; tous les deux sont dépourvus de bande paracrosticale nette.

Holotype ♂ et un paratype ♂ : Nigeria, Onitsha, x.1932 (*Anderson*); 1 paratype ♂ : id., 26.VII.1910 (*J. J. S.*). Holotype et 1 paratype au British Museum (Nat. Hist.); 1 paratype au Muséum d'Histoire naturelle, Paris.

La coloration rapproche cette espèce de *R. flaviscapularis* et *R. dentata*. Les terminalia ♂♂ sont surtout voisins de ceux de *R. dentata*, qui en diffèrent cependant par la forte dent dorsale des styles.

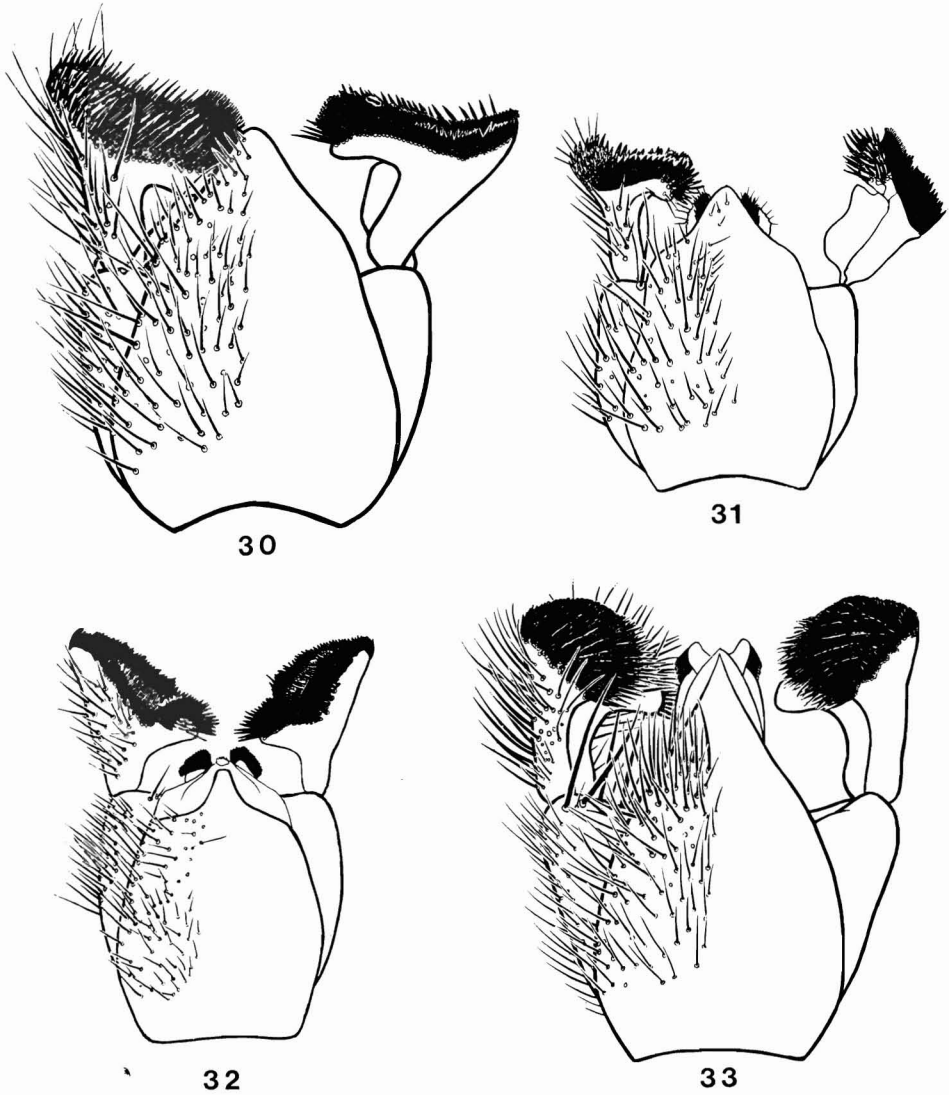


FIG. 30-33. — Fig. 30 : *R. subminor*, n. sp., hypopyge ♂, vue dorsale, $\times 103$; fig. 31 : *R. minor* (MAT.), *id.*, $\times 73$; fig. 32 : *R. melanopyga* (MAT.), *ibid.*, $\times 73$; fig. 33 : *R. flavonigra* (MAT.), *ibid.*, $\times 66$.

Ralytupa compacta, n. sp.

Holotype ♂. — Longueur de l'aile : 4,8 mm. Tête : occiput jaune; calus ocellaire noir, bien délimité. Front jaune. Antennes : scape, pédicelle et flagelles jaunes, les six derniers articles flagellaires légèrement brunis. Face et palpes jaunes.

Thorax : scutum jaune, unicolore; bandes dénudées paracrosticales nettes, mais courtes, ne dépassant pas le quart antérieur du scutum. Scutellum, postnotum et pleures jaunes. Hanches et pattes jaunes, tarses assombris; éperons noirs. Tibia I de même longueur que le protarse I. Ailes jaunes, sans taches. Pétiole de la fourche médiane moitié moins long que la fusion radio-médiane. Balanciers jaunes.

Abdomen uniformément jaune, segment pré-génital bruni à l'apex. Hypopyge (fig. 51) brun; style : fig. 54.

VARIATIONS : les bandes paracrosticales sont beaucoup plus nettes chez les paratypes que chez l'holotype.

Holotype ♂ : Nigeria, Ibadan, Malaise trap, 8.VII.1962 (*D. C. Eidt*); paratypes ♂♂ : id., 16.IX.1962, 1 ♂; 24.IX.1962, 1 ♂. Holotype et un paratype à l'Entomology Research Institute, Ottawa; un paratype au Muséum d'Histoire Naturelle, Paris.

Cette espèce est très proche, par ses terminalia ♂♂ de *R. penicillata*, n. sp. et *virgulta*, n. sp. Elle s'en distingue par la forme des styles, moins distinctement prolongés, et par les ailes non assombries à l'apex.

Ralytupa danielae (MATILE), n. comb.

Orfelia (*Ralytupa*) *danielae* MATILE, 1973 b : 194.

♂ ♀. — Longueur de l'aile : 5,6 mm-6 mm. Tête : occiput roux; calus ocellaire noir, cordiforme, bien délimité. Front roux. Antennes : scape et pédicelle jaune roux, ainsi que les 9 premiers articles du flagelle, d'un roux plus sombre chez la ♀, les articles apicaux brun noir; flagelle épaissi dans sa moitié basale. Face et palpes roux.

Thorax : scutum roux, sans bandes; bandes dénudées paracrosticales larges, très visibles, s'étendant sur la moitié antérieure du mésonotum. Scutellum, mésophragme et pleures roux. Hanches et pattes rousses, tarses assombris. Protarse I un tiers plus long que le tibia I. Ailes jaunes, brunies à l'apex à partir de R4, ainsi que sur la marge postérieure. Pétiole de la fourche médiane aussi long que la fusion radio-médiane. Balanciers roux.

Abdomen unicolore, roux. ♂, hypopyge (fig. 22) concolore; style : fig. 28. ♀ : segment pré-génital portant une bande apicale brune; ovipositeur (fig. 98) fortement bruni.

Holotype ♂ et allotype ♀, *in copula*: Fernando-Póo, Palmeraie à *Elaeis guinensis*, route de Concepción, alt. 300 m, 13.XI.1970, (*L. Matile*); Muséum d'Histoire naturelle, Paris.

RÉPARTITION : Fernando-Póo.

Localité publiée : localité type.

REMARQUES. L'espèce se rapproche de *R. flaviscapularis* (MAT.), *lindneri* (MAT.) et *simplicistyla*, n. sp. par la forme des terminalia ♂♂. Elle est surtout voisine, par la coloration, de *simplicistyla*, dont elle se distingue par les caractères indiqués à la rubrique de cette espèce.

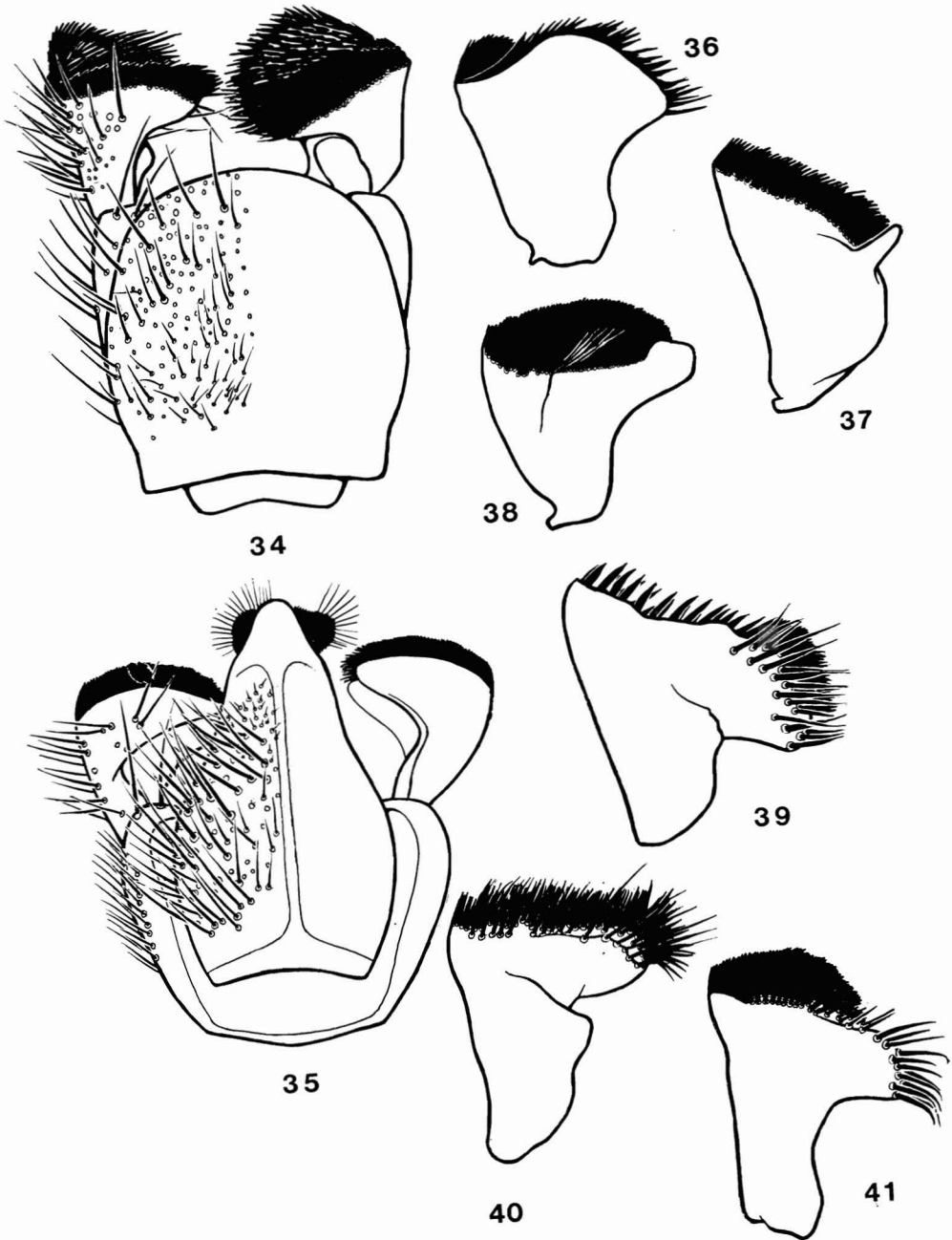


FIG. 34-41. — Fig. 34 : *R. medleri*, n. sp., hypopyge ♂, vue dorsale, $\times 80$; fig. 35 : *R. major* (MAT.), *id.*, $\times 56$; fig. 36 : *R. medleri*, n. sp., style ♂, vue ventrale, $\times 103$; fig. 37 : *R. melanopyga* (MAT.), *id.*, $\times 103$; fig. 38 : *R. major* (MAT.), *ibid.*, $\times 80$; fig. 39 : *R. subminor*, n. sp., *ibid.*, $\times 160$; fig. 40 : *R. minor* (MAT.), *ibid.*, $\times 160$; fig. 41 : *R. flavonigra* (MAT.), *ibid.*, $\times 80$.

Ralytupa dentata, n. sp.

Holotype ♂. — Longueur de l'aile : 4,8 mm. Tête : occiput jaune; calus ocellaire noir, bien délimité, relié aux marges oculaires par deux taches brunes. Antennes uniformément jaunes. Face et palpes jaunes.

Thorax : scutum brun marqué de jaune : le quart antérieur entièrement jaune, ainsi que deux grandes taches préscutellaires. Bandes paracrosticales bien distinctes, larges, prolongées sur le tiers antérieur du scutum. Scutellum brun, jauni latéralement; postnotum jaune, une tache apicale brun clair. Pleures, hanches et pattes jaunes, tarsi assombris. Tibia I aussi long que le protarse I. Eperons bruns. Ailes jaunes, distinctement assombries à l'apex. Pétiole de la fourche médiane moitié moins long que la fusion radio-médiane. Balanciers jaunes.

Abdomen : tergites I et II entièrement jaunes, les suivants jaunes à marge apicale légèrement brunie. Segment prégénital et hypopyge bruns (fig. 73).

Allotype ♀ semblable à l'holotype. Abdomen : tergites III-VI portant une tache triangulaire apicale brune, de taille croissante. Segment prégénital et ovipositeur (fig. 105) bruns.

VARIATIONS : la tache postnotale est à peine visible sur le paratype.

Holotype ♂ : Côte d'Ivoire, Lamto, sur *Olyra*, 7.x.1970, 19 h (D. Lachaise)
Allotype ♀ : *id.*, marigot salé, 20.v.1971 (d^o); 1 paratype ♂ : *id.*, galerie forestière, 9.ix.1970 (d^o). Holotype, allotype et paratype au Muséum d'histoire naturelle, Paris.

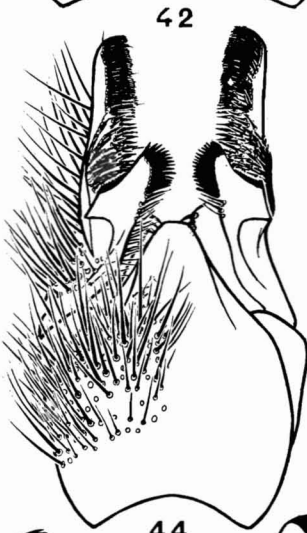
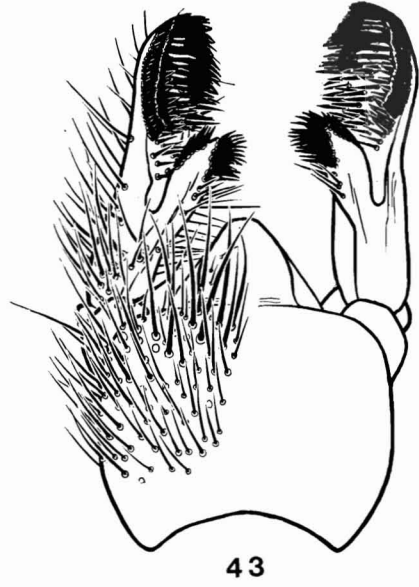
Par sa coloration, *R. dentata* se rapproche de *R. flaviscapularis* (MAT.) et *bifaria*, n. sp. En dehors de la forte dent dorsale des styles, elle se distingue notamment de *flaviscapularis* par la tache postnotale ainsi que par les antennes entièrement jaunes.

Ralytupa denticulata (MATILE) n. comb.

Orfelia (Ralytupa) denticulata MATILE, 1974 b : 522 (♂, hypopyge, fig. 8).

Holotype ♂. — Longueur de l'aile : 4,8 mm. Tête : occiput jaune orangé, calus ocellaire noir, à limites indistinctes, relié aux marges oculaires par deux taches latérales brunes. Front orangé. Antennes : articles basaux orangés, flagelle orangé à la base, progressivement assombri. Face jaune, palpes orangés.

FIG. 42-49. — Fig. 42 : *R. insidiosa* (MAT.), hypopyge ♂, vue dorsale, × 80; fig. 43 : *R. angusta*, n. sp., *id.*, × 80; fig. 44 : *R. gromieri* (MAT.) *ibid.*, × 55; fig. 45 : *R. theobromaphila* (MAT.), *ibid.*, × 56; fig. 46 : *R. angusta*, n. sp., style ♂, vue ventrale, × 80; fig. 47 : *R. insidiosa* (MAT.), *id.*, fig. 48 : *R. gromieri* (MAT.), *ibid.*; fig. 49 : *R. theobromaphila* (MAT.), *ibid.*



Thorax : scutum jaune orangé, portant trois bandes longitudinales brun rouge, luisantes, bien délimitées. Bandes dénudées paracrosticales larges, distinctes, mais ne s'étendant pas sur plus du quart antérieur du scutum. Scutellum et postnotum jaune orangé, ainsi que les pleures. Hanches jaune rougeâtre, fémurs jaunes, tibias et tarsi assombris (protarsi I brisés). Ailes jaunes, légèrement enfumées à l'apex. Fusion radio-médiane double de la longueur du pétiole de la fourche médiane. Balanciers jaune orangé, le pédicelle plus pâle.

Abdomen uniformément jaune orangé. Hypopyge (fig. 73) concolore, styles dentés et densément velus.

Holotype ♂ : République Sud-africaine, Eastern Cape Province, Katberg, 4 000 ft, 1-15.I.1933 (*R. E. Turner*). British Museum (Nat. Hist.).

Lors de la description de cette espèce, je mentionnais l'existence de deux femelles, que je pensais distinctes, provenant de la même localité. Je crois maintenant que les différences relevées ne sont pas de valeur spécifique et que ces exemplaires appartiennent bien à *R. denticulata*.

Allotype ♀. — Diffère de l'holotype par les caractères suivants : calus ocellaire bien délimité, pas de taches frontales. Flagelle à peine assombri à l'apex. Bandes mésonotales moins nettes; bandes paracrosticales étendues sur les trois quarts du scutum. Fusion radio-médiane dépassant le double de la longueur du pétiole de la fourche médiane (1,7 : 7). Le protarse I est aussi long que le tibia I. Ovipositeur : fig. 106. Le deuxième exemplaire est semblable à l'allotype.

Allotype ♀ : République Sud-africaine, E. Cape Province, Katberg, 4 000 ft, XII.1932 (*R. E. Turner*), au British Museum (Nat. Hist.); une ♀, même localité, au Muséum d'Histoire naturelle, Paris.

Ralytupa fissiterga (MATILE), n. comb.

Orfelia (*Ralytupa*) *fissiterga* MATILE, 1970 : 805 (♂, hypopyge, fig. 45).

Holotype ♂. — Longueur de l'aile : 3,4 mm. Tête : occiput et calus ocellaire noirs, confondus. Front noir, Antennes entièrement noires, sauf l'extrême base du premier article flagellaire. Face noire; palpes jaunes, les deux premiers articles légèrement brunis sur la face externe.

Thorax : scutum noir, légèrement luisant; calus huméraux brun noir. Bandes dénudées paracrosticales nettes, s'étendant sur la moitié antérieure du scutum. Scutellum noir, légèrement luisant. Postnotum et pleures noir brunâtre. Hanches jaunes. Fémurs jaunes, le premier légèrement brun à l'apex, le deuxième et le troisième fortement brunis sur le quart apical. Tibias et tarsi assombris; épérons bruns. Protarse I plus long que le tibia I (3,5 : 2,7). Ailes jaunes, fortement brunies à l'apex à partir de R4, ainsi que le long de la marge postérieure jusqu'à la cubitale. Fusion radio-médiane plus longue que le pétiole de la fourche médiane (1,8 : 1,3). Balanciers noirs, étroitement jaunés à la base.

Abdomen entièrement noir, ainsi que l'hypopyge (fig. 74).

Holotype ♂ : République centrafricaine, La Maboké, piège lumineux, 30.VIII.1967 (*L. Matile*). Muséum d'Histoire naturelle, Paris.

Localité publiée : localité type.

RÉPARTITION : République centrafricaine.

Ralytupa flavida (MATILE), n. comb.

Orfelía (Ralytupa) flavida MATILE, 1970 : 806 (♀, ovipositeur, fig. 46).

Holotype ♀. — Longueur de l'aile : 4,3 mm. Tête : occiput et front jaune roux, calus ocellaire noir, cordiforme, bien délimité. Antennes entièrement jaune roux, ainsi que la face et les palpes.

Thorax : scutum jaune roux, sans bandes; bandes nues paracrosticales nulles. Tout le reste du thorax, ainsi que les hanches, les fémurs et les tibias, jaune roux; tarsi assombris; éperons bruns. Protarse I plus long que le tibia (4 : 3,2). Ailes jaunes, légèrement brunies à l'apex de R5, sous-costale courte, se terminant un peu avant Rs. Fusion radio-médiane plus longue que le pétiole de la fourche médiane (1,2 : 0,9). Balanciers jaune roux.

Abdomen et ovipositeur (fig. 108) jaune roux.

Holotype ♀ : Cameroun, Ebolowa-Nkoemvone, 29.VII.1967 (*L. Matile*). Muséum d'Histoire naturelle, Paris.

Localité publiée : localité type.

RÉPARTITION : Cameroun.

L'espèce est proche de *R. issongo* (MAT.), dont elle diffère notamment par les antennes unicolores, la brièveté de la sous-costale et la longueur de la fusion radio-médiane.

Ralytupa flaviscapularis (MATILE), n. comb.

Orfelía (Ralytupa) flaviscapularis MATILE, 1970 : 806 (♂, hypopyge : fig. 47-48).

Holotype ♂. — Longueur de l'aile : 5,6 mm. Tête : occiput jaune brun; calus ocellaire noir, bien délimité, relié aux marges oculaires par deux taches latérales brun noir. Front jaune orangé. Antennes : scape, pédicelle et moitié basale du flagelle jaunes, la moitié apicale du flagelle brunie. Face jaune sombre, palpes plus clairs.

Thorax : scutum jaune orangé sur le tiers antérieur, noir sur le reste du disque, sauf deux taches jaunes préscutellaires. Bandes paracrosticales nettes, longues, atteignant le milieu du scutum. Scutellum brun noir; postnotum brun, largement jauni latéralement. Pleures et hanches jaune orangé, pattes jaunes, tibias et tarsi assombris. Protarse I plus long que

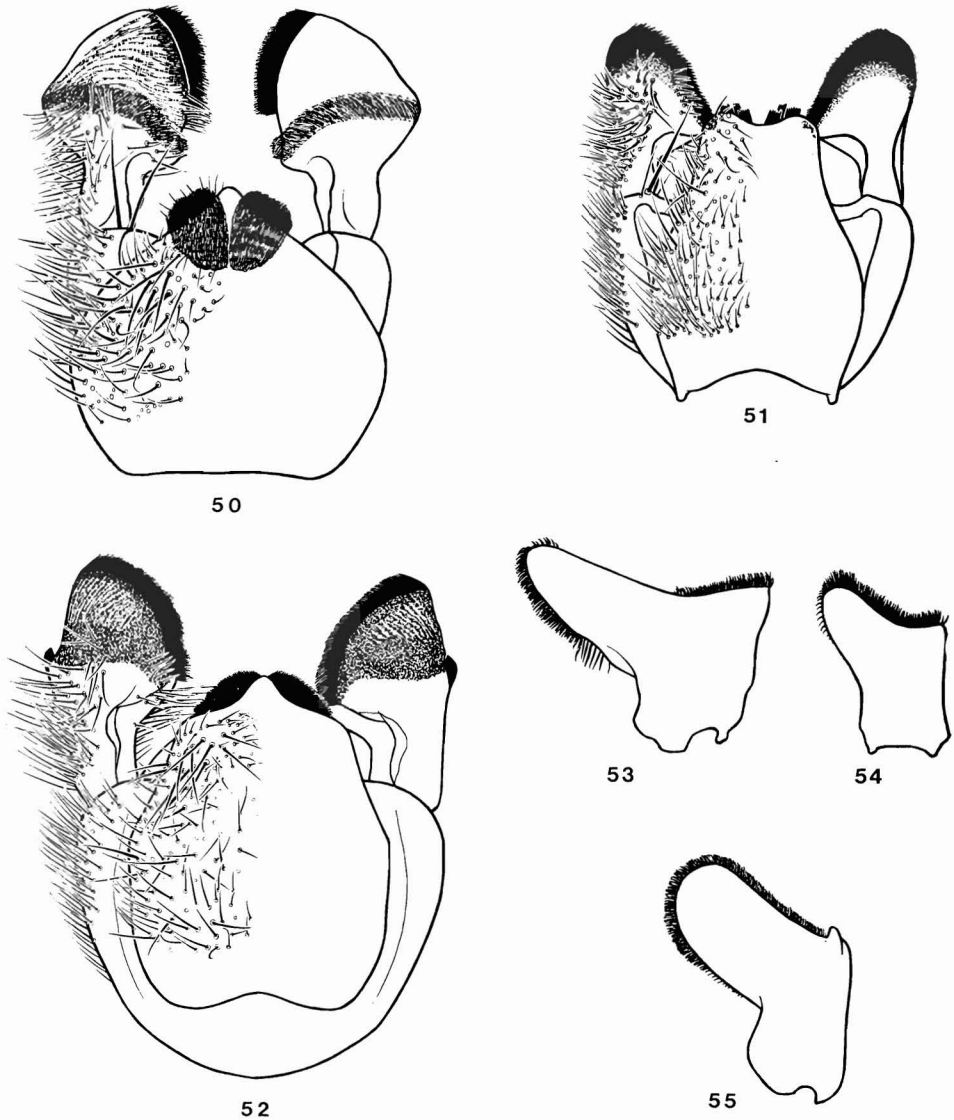


FIG. 50-55. — Fig. 50 : *R. penicillata*, n. sp., hypopyge ♂, vue dorsale, $\times 60$; fig. 51: *R. compacta*, n. sp., id.; fig. 52 : *R. virgulta*, n. sp., *ibid.*; fig. 53 : *R. penicillata*, n. sp., style ♂, vue latérale, $\times 60$; fig. 54 : *R. compacta*, n. sp., *id.*; fig. 55 : *R. virgulta*, n. sp., *ibid.*

le tibia I (5 : 4). Ailes jaunâtres, le tiers apical bruni, plus nettement de la marge antérieure à la fourche médiane. Pétiole de cette dernière un peu plus court que la fusion radio-médiane (1,8 : 2). Capitule des balanciers bruni.

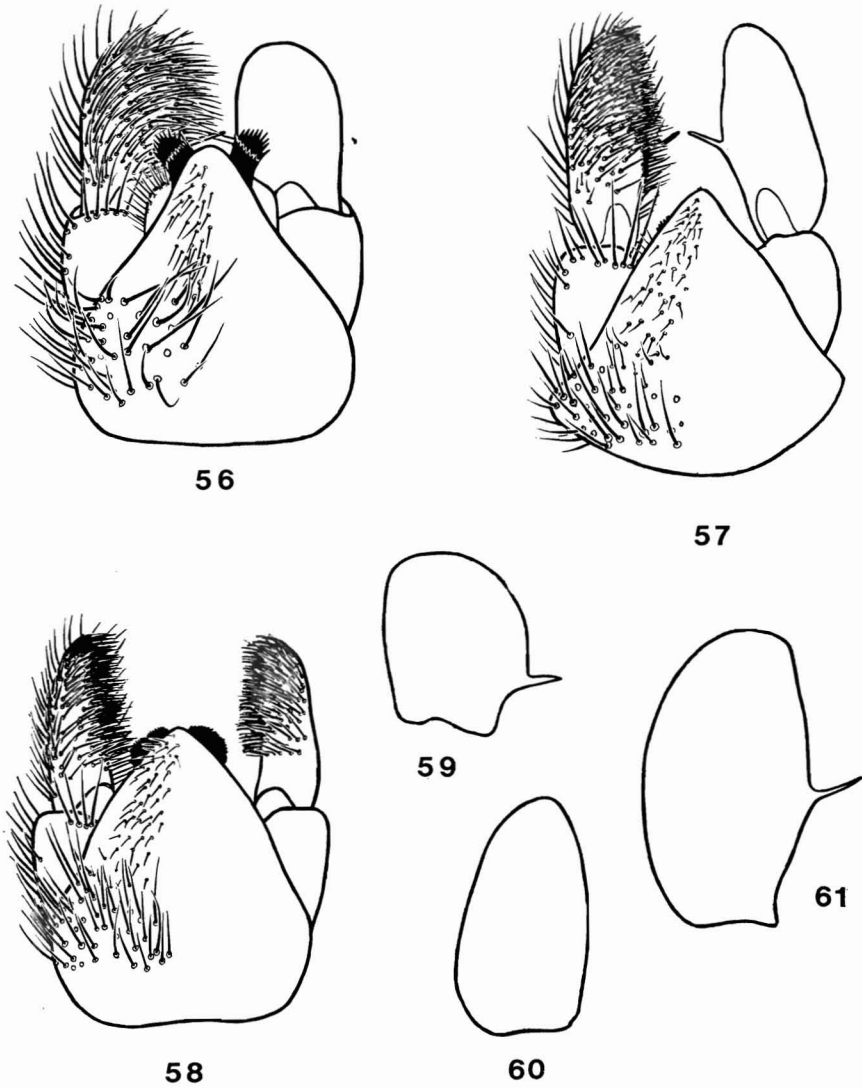


FIG. 56-61. — Fig. 56 : *R. issongo* (MAT.), hypopyge ♂, vue dorsale, × 103; fig. 57 : *R. funebris* (MAT.), *id.*, × 73; fig. 58 : *R. grahami*, n. sp., *ibid.*, × 80; fig. 59 : *R. issongo* (MAT.), style ♂, vue latérale, × 103; fig. 60 : *R. grahami*, n. sp., *id.*; fig. 61 : *R. funebris* (MAT.), *ibid.*

Abdomen : tergite I jaune, brun à l'apex; tergites suivants bruns, avec une large bande basale jaune, le tergite VI entièrement jaune. Hypopyge (fig. 25) brun; style : fig. 29.

Allotype ♀. — Je rapporte à *O. flaviscapularis* une ♀ dont la coloration scutale surtout, et de nombreux autres caractères, sont semblables à l'holotype: il n'est cependant pas exclu qu'il s'agisse de la ♀ d'une espèce encore inconnue. Les antennes sont brisées; protarse et tibia I subégales. Abdomen: tergite I entièrement jaune, les tergites suivants jaunes à taches apicales triangulaires brunes, dont les sommets sont reliés entre eux par une mince ligne brune plus ou moins visible; tergite VI jaune unicolore, segment pré-génital et ovipositeur (fig. 99) bruns.

Holotype ♂: Cameroun, Sud, Ebolowa, rocher d'Akouakas, bord de ruisseau, 22.VII.1967 (*L. Matile*); Muséum d'Histoire naturelle, Paris.

RÉPARTITION: Bloc forestier guinéo-congolais.

Localité publiée: Cameroun, localité type.

Nouvelle localité: Ghana, Ashanti, Obuasi, 6.V.1906 (*W. M. Graham*), allotype ♀; British Museum (Nat. Hist.).

REMARQUES. La coloration thoracique rapproche cette espèce de *R. bifaria*, n. sp. et *dentata*, n. sp. En dehors des terminalia ♂, *R. flaviscapularis* est surtout caractérisé par la coloration abdominale à dominante brune, ainsi que les balanciers sombres. Par les terminalia ♂♂, elle appartient au groupe de *R. danielae*, au sein duquel elle se rapproche surtout, par la coloration abdominale, de *R. lindneri*. Elle se séparera de cette dernière espèce par le scutum largement jauni en avant et le style à dents plus aiguës.

Ralytupa flavonigra (MATILE), n. comb.

Orfelia (*Ralytupa*) *flavonigra* MATILE, 1974 a, 938 (♂, hypopyge, fig. 32).

Holotype ♂. — Longueur de l'aile: 7 mm. Tête: occiput jaune; calus ocellaire noir, cordiforme, relié à la marge oculaire par une tache brune. Front jaune, bruni, outre les taches latérales, par une tache en avant du calus ocellaire. Antennes: scape, pédicelle et premier tiers du premier article flagellaire jaunes, le reste du flagelle brun noir. Face jaune, brunie en bas, palpes jaunes.

Thorax: prothorax jaune; scutum brun sombre, portant trois larges bandes longitudinales noires; calus huméraux jaunes. Bandes paracrosticales larges, mais ne dépassant pas le quart antérieur du scutum. Scutellum brun noir, un peu jauni latéralement à la base. Postnotum jaune sombre, bruni à la base et sur les côtés. Pleures jaunes, les pleurotergites un peu plus sombres. Hanches jaunes, II légèrement brunies à la face externe, III plus largement. Pattes jaunes, tarses assombrés. Protarse I plus long que le tibia (6:5). Ailes jaunes, la moitié apicale enfumée de brun sans former de tache distincte, la partie la plus sombre étant entre les dernières sections de R1 et R5. Fusion radio-médiane un peu plus courte que le pétiole de la fourche médiane (1,8:2,2). Balanciers: pédicelle jaune, capitule brun.

Abdomen : tergite I brun, II brun, un peu plus clair à la base; III à VI bruns avec une bande basale jaune, VII jaune à bande apicale brune. Hypopyge (fig. 33) brun; style : fig. 42.

Holotype ♂ : République centrafricaine, la Maboké, 25.VIII.1970 (*L. Matile*); Muséum d'Histoire naturelle, Paris.

RÉPARTITION : République centrafricaine.

Localité publiée : localité type.

REMARQUES. — Sur le plan des terminalia ♂♂, cette espèce appartient au groupe *subminor*, au sein duquel elle se différencie par son ornementation mésonotale très particulière, unique chez les *Ralytupa* actuellement connus.

Ralytupa fumidapex (MATILE), n. comb.

Orfelia (Ralytupa) fumidapex MATILE, 1970 : 802 (♀, ovipositeur, fig. 39).

Holotype ♀. — Longueur de l'aile : 6,4 mm. Tête : occiput jaune orangé; calus ocellaire noir, bien délimité. Front jaune orangé. Antennes jaune orangé, ainsi que la face et les palpes.

Thorax : scutum jaune orangé, marqué de trois bandes longitudinales brun rouge, très nettes, la médiane divisée en deux longitudinalement et interrompue avant le scutellum, les latérales interrompues au quart antérieur et plus sombres en arrière. Bandes paracrostales larges, prolongées sur environ le quart antérieur. Scutellum, postnotum, pleures, hanches et pattes jaune orangé, tarsi assombris; épérons bruns. Protarse I plus long que le tibia I (6,5 : 5). Ailes jaunes, fortement brunies à l'apex. Fusion radio-médiane double de la longueur du pétiole de la fourche médiane. Balanciers jaune orangé.

Abdomen jaune orangé. Ovipositeur (fig. 109) noir.

Holotype ♀ : Cameroun, Ebolowa-Nkoemvone, 2.VIII.1967 (*L. Matile*). Muséum d'Histoire naturelle, Paris.

RÉPARTITION : Cameroun.

Localité publiée : localité type.

Ralytupa funebris (MATILE), n. comb.

Orfelia (Ralytupa) funebris MATILE, 1970 : 805 (♂, hypopyge, fig. 44); 1974 a : 939.

Orfelia (Ralytupa) rivalis MATILE, 1970 : 804 (♀, ovipositeur, fig. 43).

♂ ♀. — Longueur de l'aile : 3,7-4,8 mm. Tête : occiput noir; calus ocellaire concolore, non séparé de l'occiput. Front brun noir. Antennes : scape brun noir, pédicelle brun noir, jauni à l'apex (♂), ou bien les deux articles entièrement jaunes (♀); Flagelle uniformément brun noir. Face brun noir, palpes jaunes.

Thorax : scutum brun noir à noir, luisant, sans bandes; calus huméraux jaune roux, plus ou moins brunis. Bandes paracrosticales nulles. Scutellum et postnotum brun noir à noirs. Pleures bruns, plus ou moins tachés de jaune en avant, pleurotergites plus sombres. Hanches I jaunes, II entièrement jaunes ou brunies à la base, III jaunes ou presque entièrement brunies à la face externe. Pattes jaunes, tibias et tarses assombris; éperons noirs. Protarse I plus long que le tibia I (5 : 4). Ailes brunes, plus sombres à la marge antérieure et à l'apex (♂), ou bien jaunes, largement brunies à la marge postérieure et à l'apex (♀). Pétiole de la fourche médiane plus court que la fusion radio-médiane (1,5 : 1,9). Balanciers : pédicelle jaune, capitule brun à brun noir.

Abdomen ♂ uniformément brun noir, sauf la base du sternite I, jaunie; hypopyge (fig. 57) noir; style : fig. 61. ♀ : tergites bruns, sternites jaunes; ovipositeur (fig. 107) brun.

Holotype ♂ : Cameroun, Yaoundé, berge de ruisseau aux environs d'Ongot, 5.VIII.1967 (*L. Matile*). Allotype ♀ : *id.* (holotype d'*O. rivalis*). Muséum d'Histoire naturelle. Paris.

Localités publiées : localité type (*Matile*, 1970). République centrafricaine, département de la Lobaye, forêt-galerie de Bébé, 7.IX.1970, 1 ♂, 1 ♀ (*L. Matile*) (*Matile*, 1974 a).

RÉPARTITION : Bloc forestier guinéo-congolais.

L'espèce, remarquable par son dimorphisme sexuel prononcé, fait partie du groupe *issongo*. Elle se distinguera des deux autres espèces de ce groupe par la coloration brune des pleures.

Ralytupa grahami, n. sp.

Holotype ♂. — Longueur de l'aile : 4 mm. Tête : occiput brun noir; calus ocellaire brun noir, indistinctement séparé de l'occiput, relié aux marges oculaires par deux taches latérales noires. Front brun, luisant. Antennes : scape brun, pédicelle brun, largement jauni à l'apex, flagelle uniformément brun. Face brune, palpes jaunes.

Thorax : scutum mat, uniformément brun noir; calus huméraux jaunes; pas de bandes nues paracrosticales. Scutellum et postnotum brun noir. Pleures jaunes, sauf les pleurotergites, bruns, et les hypopleures, jaune brunâtre. Hanches et pattes jaunes, tarses assombris; éperons noirs. Protarse I nettement plus long que le tibia I (4 : 3,2). Ailes jaunes, indistinctement assombries dans la moitié apicale. Fusion radio-médiane plus longue que le pétiole de la fourche médiane (1,9 : 1,5). Balanciers : pédicelle jaune, capitule brun.

Abdomen uniformément brun noir mat, sauf le premier sternite et la base du deuxième. Hypopyge (fig. 58) brun noir; style : fig. 60.

Holotype ♂ : Nigeria, Sud, sans date (Dr. *W. M. Graham*), au British Museum (Nat. Hist.).

La forme des terminalia ♂♂ de cette espèce indique de fortes affinités avec *R. funebris* (MAT.) et *issongo* (MAT.), dont elle diffère cependant par l'absence de bec ventral sur les styles. Elle se sépare de plus d'*issongo* par la coloration du thorax et de l'abdomen, et de *funebris* par celle des pleures et des ailes.

***Ralytupa gromieri* (MATILE), n. comb.**

Orfelia (*Ralytupa*) *gromieri* MATILE, 1970 : 800 (♂, hypopyge, fig. 36; ♀, ovipositeur; fig. 38); 1974 a : 939 (♀, sternite VIII, fig. 26; plaque postgénitale, fig. 29).

♂ ♀. — Longueur de l'aile : 4,1-6,8 mm. Tête : occiput luisant, roux; calus ocellaire noir, bien délimité. Front jaune roux, luisant. Antennes : scape, pédicelle et flagelle roux, les trois ou quatre derniers articles flagellaires plus ou moins distinctement brunis à l'apex. Face et palpes jaune roux.

Thorax : scutum roux, luisant; trois bandes longitudinales brunes, plus ou moins distinctes, parfois la médiane effacée; le plus souvent les bandes ne sont bien marquées que latéralement et en arrière, parfois seules subsistent deux taches préscutellaires. Bandes paracrosticales larges, bien visibles, prolongées sur près de la moitié antérieure du scutum. Scutellum roux; postnotum, pleures et hanches jaune roux. Pattes jaunes, tarses assombrés; éperons brun noir. Protarse I plus long que le tibia I (5 : 4,5). Ailes jaunes, non assombries à l'apex. Pétiole de la fourche médiane plus court que la fusion radio-médiane (1,5 : 2,2). Balanciers jaune roux.

Abdomen roux, hypopyge (fig. 44) et ovipositeur (fig. 80) noirs. ♂, style : fig. 48; ♀, sternite VIII : fig. 86, cerque : fig. 87; plaque postgénitale : fig. 88.

Holotype ♂ et allotype ♀ : Cameroun, région de Dschang, plateaux volcaniques, 1 400 m, saison très humide, 1923 (Dr. *Gromier*). Holotype, allotype et paratypes au Muséum d'Histoire naturelle, Paris.

RÉPARTITION : Bloc forestier guinéo-congolais.

Localités publiées : localité type (holotype ♂, allotype ♀, 1 paratype ♂); Cameroun, Yaoundé, rocher de Nkolbisson, 27.VII.1967, 1 ♀ (*L. Matile*); Nkolbisson (station), piège lumineux, 5.VIII. à 5.IX.1968, 1 ♀ (*Ph. Bruneau de Miré*) [*Matile*, 1970]; République centrafricaine, La Maboké, 25.VIII.1970, 1 ♂; 3.IX, 1 ♀; 4.IX, 2 ♂♂; 5.IX, 1 ♂; 13.IX, 1 ♀; 18.IX, 1 ♀; 24.IX, 1 ♀; 25.IX, 2 ♂♂, 3 ♀♀; 26.IX, 5 ♂♂, 3 ♀♀; 27.IX, 2 ♂♂, 3 ♀♀; 28.IX, 1 ♀; 29.IX.1970, 1 ♀; 30.IX; 3 ♂♂; 2.X., 1 ♀; Gouli-Gouli, 8.IX.1970, 1 ♂ (*L. Matile*) [*Matile*, 1974 a].

Nouvelles localités : Nigeria, Ogoja County, on window, 16.VIII.1961, 1 ♂ (n° 17259, *R. W. Meyer*) (British Museum); Uganda, Ankole, Kichwamba, 23-29.IV.1968, 1 ♂ (*P. J. Spangler*) (U.S. National Museum). République centrafricaine, La Maboké, 30.IX.70, 1 ♂ supplémentaire (*L. Matile*). Rép.

Pop. du Congo; Ile M'Bamou, station IV, 21-22.II.1972, piège lumineux, 1 ♂; *id.* 26-27.I.1972, 1 ♂ (*P. Grillot*).

REMARQUES. — Cette espèce fait partie du groupe *angusta*, *theobromaphila*, *insidiosa*, à l'intérieur duquel elle est caractérisée par la forme allongée et la saillie sub-basale des styles ♂♂, et par la forme régulière de l'ovipositeur chez la ♀.

Ralytupa insidiosa (MATILE), n. comb.

Orfelia (Ralytupa) insidiosa Matile, 1974 a: 943 (♂, hypopyge, fig. 34-35; ♀, ovipositeur, fig. 25).

♂ ♀. — Longueur de l'aile : 4,7-7,3 mm. Tête : occiput jaune; calus ocellaire noir, bien délimité, prolongé en arrière par une ligne fine. Front bruni au-dessus des antennes. Antennes : entièrement jaunes, sauf l'apex du flagelle, un peu assombri. Face et palpes jaunes.

Thorax : scutum jaune, sauf deux taches préscutellaires rousses; bandes paracrosticales bien visibles en avant. Scutellum jaune sombre; postnotum et pleures d'un jaune plus pâle. Hanches et pattes jaunes, tarsi assombris. Protarse I plus long que le tibia correspondant (5 : 4). Ailes jaunes, sans taches. Pétiole de la fourche médiane plus court que la fusion radio-médiane (1,3 : 2).

Abdomen ♂ jaune, segment pré-génital et hypopyge (fig. 42) bruns. Femelles : abdomen unicolore, y compris l'ovipositeur (fig. 81). ♂, style : fig. 47; ♀, sternite VIII : fig. 92, cerque : fig. 93, plaque post-génitale : fig. 94.

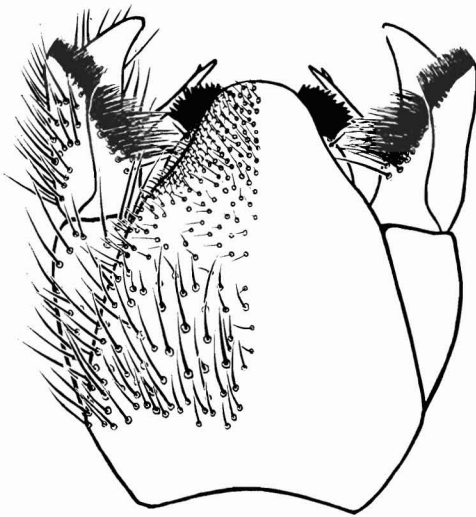
VARIATIONS : certains exemplaires présentent trois bandes mésonotales longitudinales sombres, plus ou moins étendues, tandis que les taches préscutellaires sont parfois absentes chez d'autres exemplaires, le mésonotum étant ainsi unicolore. Un paratype, de Côte-d'Ivoire, a la nervure R4 absente sur les deux ailes.

Holotype ♂ et allotype ♀ : Cameroun, Sud, région de Yaoundé, test cacao, VII.1969 (*Ph. Bruneau de Miré*); Muséum d'Histoire naturelle, Paris.

RÉPARTITION : Bloc forestier guinéo-congolais.

Localités publiées; Cameroun, localité type; République centrafricaine : La Maboké, 2.IX.1970, 1 ♀; 24.IX.1970, 2 ♀♀; 25.IX.1970, 3 ♀♀; 26.IX.1970, 1 ♀; 27.IX.1970, 1 ♀ (*L. Matile*); Côte-d'Ivoire : Lamto, marigot salé, 7.V.1971, 1 ♂ (*D. Lachaise*); Nigeria, Sud, Ibadan, Malaise trap, 19.VII-11.X.1962, 3 ♂♂ (*D. C. Eidi*); Oshogo, 3.VIII.1910, 1 ♂ (*Dr. T. F. G. Mayer*).

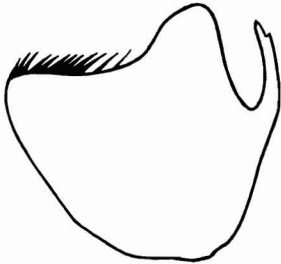
REMARQUES. — L'espèce appartient au groupe très homogène formé par *R. theobromaphila* (MAT.), *angusta*, n. sp. et *gromieri* (MAT.). Elle se rapproche surtout de *theobromaphila* dont elle se distingue seulement par les pièces génitales, notamment par le style nettement plus étroit à l'apex. En outre, le segment pré-génital ♂ est entièrement brun, sauf à la base, chez *insidiosa*, alors que chez *theobromaphila* il est jaune dans sa plus grande partie.



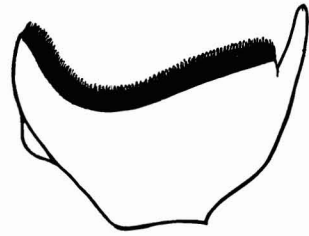
62



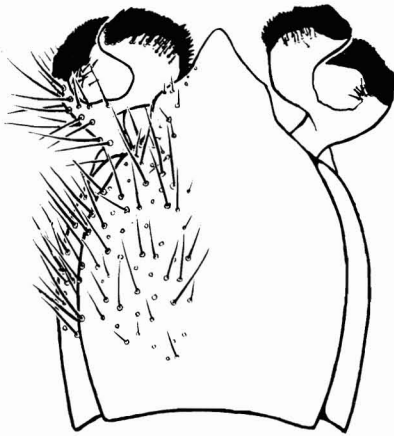
63



64



65



66



67

FIG. 62-67. — Fig. 62 : *R. woltheri* (LINDS.), hypopyge ♂, vue dorsale, × 113; fig. 63 : *R. bacillata*, n. sp., id., × 80; fig. 64 : *R. woltheri* (LINDS.), style ♂, vue latérale, × 113; fig. 65 : *R. bacillata*, n. sp., id., × 103; fig. 66 : *R. pyrrophaea* (MAY.), hypopyge ♂, vue dorsale, × 56; fig. 67 : ♂, style ♂, vue ventrale, × 80.

***Ralytupa issongo* (MATILE), n. comb.**

Orfelia (Ralytupa) issongo MATILE, 1974 a, 941 (hypopyge ♂ : fig. 33).

♂♂. — Longueur de l'aile : 3,6 mm. Tête : occiput jaune sombre; calus ocellaire noir, cordiforme, nettement délimité, prolongé en arrière par une courte ligne noire. Front jaune sombre. Antennes : scape et pédicelle jaunes, flagelle roux. Face et palpes jaunes.

Thorax : scutum jaune sombre, portant en arrière trois très courtes bandes plus sombres fusionnées avant le scutellum (fig. 14). Bandes dénudées paracrosticales nulles. Scutellum et postnotum jaunes, le premier un peu assombri sur le disque. Pleures, hanches et pattes jaunes, tarses assombris. Protarse I un peu plus long que le tibia correspondant (3,5 : 3). Éperons noirs. Ailes jaunâtres, légèrement enfumées à l'apex. Fusion radio-médiane et pétiole de la fourche médiane subégales (1,7 : 1,6). Balanciers jaune sombre.

Abdomen uniformément jaune sombre, ainsi que l'hypopyge (fig. 56); style : fig. 59.

Holotype ♂ : République centrafricaine, La Maboké, 1.x.1970. Holotype et paratype au Museum d'Histoire naturelle, Paris.

RÉPARTITION : République centrafricaine.

Localité publiée : localité type; République centrafricaine, La Maboké, 24.IX.1970, 1 paratype ♂.

REMARQUES. — Cette espèce, par ses terminalia ♂♂, est proche de *R. funebris* (MAT.) et *grahami*, n. sp., tous les deux de coloration très différente. Elle est également voisine de *R. flavida* (MAT.), connue par la ♀ seulement, et s'en distingue par les caractères déjà donnés à la rubrique de cette espèce.

***Ralytupa lindneri* (MATILE), n. comb.**

Orfelia (Ralytupa) lindneri MATILE, 1973 a : 1 (hypopyge ♂, fig. 1-2).

Holotype ♂. — Longueur de l'aile : 6,5 mm. Tête : occiput brun noir; calus ocellaire brun noir, indistinct de l'occiput. Front brun noir. Antennes : scape jaune brun, ainsi que le pédicelle, flagelle brun, plus clair à la base, la base du premier article jaune. Face jaune, brunie au centre; palpes bruns, sauf le premier article, jaune.

Thorax : scutum brun noir, luisant, sans bandes, calus huméraux jaunes. Bandes dénudées paracrosticales longues, bien distinctes, prolongées sur près des 2/3 du scutum. Scutellum brun, étroitement jauni sur les côtés; postnotum et pleures (y compris le propleure) brun jaunâtre. Hanches I jaunes, II et III brun jaune. Pattes jaunes, tarses assombris; éperons noirs. Protarse I plus long que le tibia I (4,1 : 4,5). Ailes jaunes, enfumées de brun à la marge postérieure, ainsi qu'à l'apex depuis R4. Fusion radio-

médiane plus courte que le pétiole de la fourche médiane (1 : 1,2). Balanciers jaunes, capitule brun.

Abdomen brun, le tergite III avec une étroite bande basale jaune, IV et V avec une large bande basale jaune occupant la moitié du tergite; sternites bruns, sauf les III-IV, jaunes à bande apicale brune. Hypopyge (fig. 23) brun; style : fig. 27.

Holotype ♂ : Tanzanie, Kilimandjaro S.W., 3 000 m, 31.1.1959 (E. Lindner); Staatliches Museum für Naturkunde, Ludwigsburg.

RÉPARTITION : hautes altitudes, Tanzanie.

Localité publiée : localité type.

REMARQUES. — L'espèce fait partie du groupe de *R. danielae*, au sein duquel elle se distingue par le scutum entièrement sombre.

Ralytupa major (MATHIE), n. comb.

Orfelia (Ralytupa) major MATHIE, 1970 : 807 (♂, hypopyge, fig. 49 : ♀, ovipositeur, fig. 50).

L'espèce est de coloration très variable, mais la coloration des spécimens pris dans une même localité semble relativement constante. Il a donc semblé utile de reconnaître et de nommer des « formes » dont il n'est pas possible, en l'absence d'un abondant matériel, de déterminer le statut biologique. On trouvera ci-dessous la description complète de la forme typique, puis celles des autres, où ne seront soulignées que les différences.

Forme *typica*. — Longueur de l'aile : 5,6 à 8,4 mm. Tête : occiput jaune orangé; calus ocellaire noir, bien délimité. Front jaune orangé. Antennes jaune orangé, sauf les six derniers articles, bruns (allotype ♀ : 4 articles brunis seulement). Face jaune orangé, brunie en bas. Palpes jaune orangé.

Thorax : scutum jaune orangé, portant trois bandes noires séparées en avant, confondues au niveau de la moitié postérieure du scutum, bande médiane interrompue avant les marges antérieure et postérieure (fig. 16). Calus huméraux jaunes; bandes dénudées paracrosticales nettes, s'étendant sur la moitié antérieure. Scutellum et postnotum jaunes. Pleures jaunes en haut, bruns en bas. Hanches I et II jaunes, III jaune orangé un peu brunie à la base et à la face externe. Pattes jaunes, éperons noirs. Protarse I plus long que le tibia (3,2 : 2,7). Ailes jaunâtres, portant une grande bande brune en forme de croissant au niveau du quart apical, l'apex non brunie (fig. 11). Fusion radio-médiane 1,5 fois plus longue que le pétiole de la fourche médiane.

Abdomen jaune orangé, le tergite I légèrement brunie latéralement, les tergites suivants avec une large bande apicale brune (fig. 17). Hypopyge (fig. 35) brun; style : fig. 38. Ovipositeur (fig. 102) jaune.

Forme *nigricauda* : seulement les deux tiers apicaux du dernier article du flagelle antennaire brunis; face et calus huméraux bruns. Hanches I

et II brunies à la base, III très largement brunie sur la face externe. Fémurs II-III avec une grande tache basale ventrale brune. Abdomen (fig. 18) : tergite I entièrement jaune, II brun foncé, jauni à la base; III et IV jaunes, une bande apicale brun foncé étroite, tergites suivants et hypopyge noirs.

Forme *cincta* : semblable à la précédente, en diffère par l'occiput taché de brun, ainsi que le front, les calus huméraux jaunes, les hanches I-II non tachées, et les III à peine brunies, et le tergite abdominal IV entièrement brun (fig. 19).

Forme *scalaris* : pleures entièrement jaune orangé, ainsi que les hanches et les balanciers. Abdomen (fig. 20) : bandes brunes apicales des tergites II-IV très minces, les tergites suivants et l'hypopyge (sauf les styles) entièrement jaune orangé. Chez un exemplaire, la bande brune du tergite abdominal IV est très faible.

Forme *bicolor* : comme la forme *scalaris*, mais l'abdomen est uniformément jaune orangé, et l'hypopyge brun.

Holotype ♂ et allotype ♀ : Cameroun, région de Dschang, 1 400 m, plateaux volcaniques, saison humide (VI-IX.1924) (Dr. *Gromier*). Muséum d'Histoire naturelle, Paris.

Localité publiée : localité type.

Nouvelles localités : Nigeria, Ibadan, Malaise trap, 30.XII.1962, 1 ♂ (*D. C. Eidt*) (f. *nigricauda*); Ogoja, on window, 22.VI.1958, 1 ♂ (n° 12863, *R. W. Meyer*) (f. *bicolor*); Sierra Leone, Njala, 10.X.1930, 1 ♂ (*E. Hargreaves*) (f. *cincta*); Uganda, Ankole, Kichwamba, 23-29.IV.1968, 3 ♂♂ (*P. J. Spangler*) (f. *scalaris*) .

RÉPARTITION : largement répandu, d'Afrique occidentale à l'Afrique orientale.

L'espèce appartient au groupe *subminor*, et semble plus particulièrement proche de *R. flavonigra*, dont elle se sépare néanmoins, outre l'hypopyge, par de nombreuses différences de coloration, notamment du scutum et de l'aile.

Ralytupa medleri, n. sp.

Holotype ♂. — Longueur de l'aile : 5,1 mm. Tête : occiput jaune; calus ocellaire noir, bien délimité, relié à la marge oculaire par une ligne plus sombre. Front jaune. Antennes jaunes, sauf les trois derniers articles du flagelle, bruns. Face et palpes jaunes.

Thorax : prothorax et scutum jaune unicolore; bandes paracrosticales étroites, mais longues et bien distinctes, s'étendant sur la moitié antérieure du scutum. Scutellum et postnotum jaunes, unicolores, ainsi que les pleures. Hanches et pattes jaunes, tarsi assombris. Protarse I un peu plus long que le tibia I (4,3 : 4,1). Ailes jaunes, l'apex un peu plus sombre. Fusion radio-médiane atteignant près du double de la longueur du pétiole de la fourche médiane (1,1 : 0,6). Balanciers uniformément jaunes.

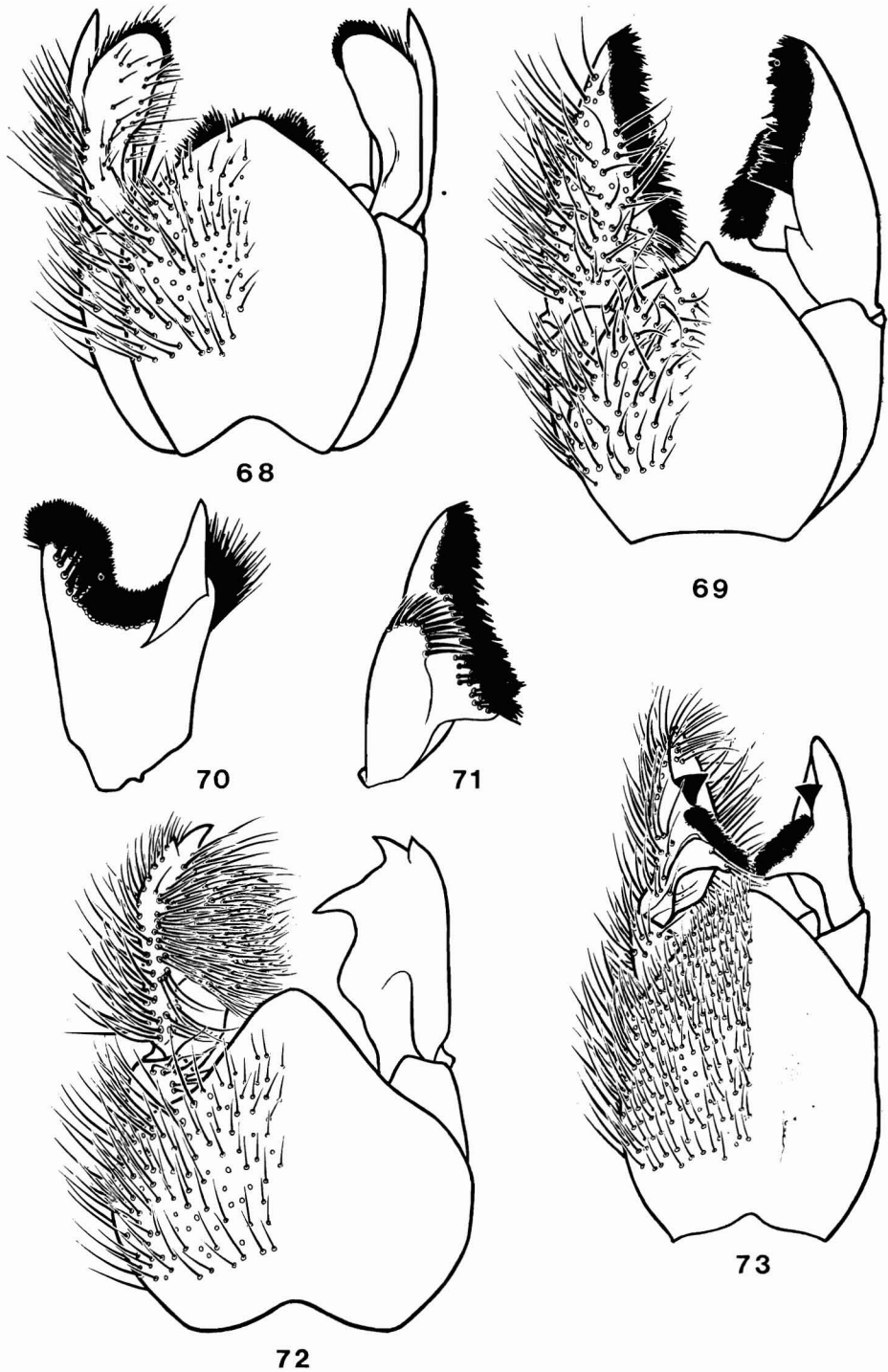


FIG. 68-73. — Fig. 68 : *R. pugiata*, n. sp., hypopyge ♂, vue dorsale, $\times 80$; fig. 69 : *R. bifaria*, n. sp., id.; fig. 70 : *R. pugiata*, n. sp., style ♂, vue ventrale, $\times 103$; fig. 71 : *R. bifaria*, n. sp., id., $\times 80$; fig. 72 : *R. denticulata* (MAT.), hypopyge ♂, vue dorsale, $\times 80$; fig. 73 : *R. dentata*, n. sp., id.

Abdomen jaune unicolore, hypopyge (fig. 34) brun; style : fig. 36.
 Holotype ♂ : Nigeria, W. State, Ile-Ife, May 1973 (*J. T. Medler*,
 n° M-13), Muséum d'Histoire naturelle, Paris.

Cette espèce fait partie du groupe *subminor*, au sein duquel elle se distingue par le tergite IX non prolongé en pointe apicale.

***Ralytupa melanopyga* (MATILE), n. comb.**

Orfelia (*Ralytupa*) *melanopyga* MATILE, 1970 : 800 (♂, hypopyge : fig. 34; ♀, ovipositeur : fig. 35).

♂ ♀. — Longueur de l'aile : 5,2 mm. Tête : occiput jaune roux, calus ocellaire noir, assez distinctement séparé de l'occiput. Front roux. Antennes rousses, les derniers articles flagellaires brunis. Face et palpes roux.

Thorax : scutum roux, portant trois bandes longitudinales peu distinctes, d'un roux plus sombre. Bandes dénudées paracrosticales visibles seulement à la marge antérieur. Pleures, scutellum et postnotum roux. Hanches et fémurs jaune roux, tibias et tarses assombris; éperons jaune brunâtre. Protarse I plus long que le tibia I (5,5 : 4,5). Ailes jaunâtres, légèrement et indistinctement assombries à l'apex. Pétiote de la fourche médiane un peu plus court que la fusion radio-médiane (2 : 2,3). Balanciers jaune roux.

Abdomen unicolore, roux orangé. Hypopyge (fig. 30) d'un noir profond; style : fig. 37. Ovipositeur noir (fig. 103).

Holotype ♂ : Cameroun, Ebolowa-Nkoemvone, 31.VIII.1967 (*L. Matile*).

RÉPARTITION : Cameroun.

Localités publiées : localité type; Cameroun, Yaoundé, Nkolbisson, 24.VII.1967, 1 ♀ (allotype) (*L. Matile*). Holotype et allotype au Muséum d'Histoire naturelle, Paris.

REMARQUES. — L'espèce appartient au groupe très homogène de *R. subminor*, et ne se reconnaîtra avec certitude que par l'examen des pièces génitales.

***Ralytupa minor* (MATILE), n. comb.**

Orfelia (*Ralytupa*) *minor* MATILE, 1970 : 800 (♂, hypopyge, fig. 36).

Holotype ♂. — Longueur de l'aile : 3,6 mm. Tête : occiput brun jaunâtre; calus ocellaire noir, indistinctement séparé de l'occiput. Front jaune brun en haut, jaune en bas. Antennes jaunes, articles apicaux du flagelle brunis. Face et palpes jaunes.

Thorax : scutum jaune roux, trois bandes longitudinales rougeâtres peu distinctes. Bandes paracrosticales visibles seulement en avant. Scu-

tellum et postnotum roux. Pleures et hanches jaunes. Pattes jaunes, tarsi assombris; éperons brun noir. Protarse I plus long que le tibia I (5,5 : 4,5). Ailes jaunes, l'apex légèrement enfumé. Pétiole de la fourche médiane aussi long que la fusion radio-médiane.

Abdomen jaune roux. Hypopyge (fig. 30) noir; style : fig. 40.

Holotype ♂ : Cameroun, Yaoundé, Nkolbisson, 24.VII.1967 (*L. Matile*); Muséum d'Histoire naturelle, Paris.

RÉPARTITION : Cameroun.

Localité publiée : localité type.

L'espèce est proche de *R. subminor* et des autres membres de ce groupe. surtout voisine, par les terminalia ♀♀, de *R. subminor*, elle s'en séparera principalement par le style nettement plus élargi à l'apex, et à soies moins serrées (fig. 39 et 40).

Ralytupa nasuta, n. sp.

Holotype ♂. — Longueur de l'aile : 3,4 mm. Tête : occiput jaune sombre; calus ocellaire noir, bien délimité. Front jaune luisant. Antennes entièrement jaunes, les deux articles basaux un peu plus clairs que la flagelle. Face et palpes jaunes.

Thorax : scutum jaune sombre, unicolore; pas de bandes nues paracostales distinctes. Scutellum et postnotum jaune sombre. Pleures jaune clair, ainsi que les hanches et les pattes; tibias et tarsi assombris, éperons bruns. Protarse I légèrement plus long que le tibia I (5,5 : 5). Ailes jaunes, l'apex légèrement brun. Pétiole de la fourche médiane près de deux fois plus court que la fusion radio-médiane (1 : 1,9). Balanciers jaunes, le capitule un peu plus sombre.

Abdomen uniformément jaune; hypopyge (fig. 76) concolore.

Allotype ♀ semblable à l'holotype; ovipositeur jaune, cerques pointus à l'apex (fig. 104).

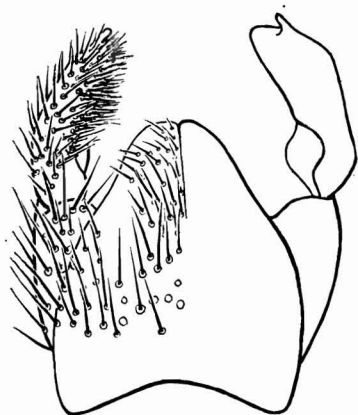
Holotype ♂ : Nigeria, Ibadan, Malaise trap, 11.VII.1962 (*D. C. Eidt*); allotype ♀ : *id.*, 8.VII.1962; paratypes : *id.*, 3.VII.1962, 1 ♂; 8.VII.1962, 1 ♂; 10.VII.1962, 2 ♂♂; 7.IX.1962, 1 ♂, 1 ♀; 14.XII.1962, 1 ♂. Holotype, allotype et paratypes à l'Entomology Research Institute, Ottawa, sauf 2 paratypes ♂♂ et 1 paratype ♀ au Muséum d'Histoire naturelle, Paris.

Le tergite génital longuement prolongé en arrière (en fait plus longuement qu'il n'est représenté sur la fig. 76, car le processus est assez fortement recourbé) est bien caractéristique de cette espèce. En dehors des caractères de l'hypopyge ♂, on pourrait la rapprocher de *R. flavida* MAT., décrit sur une ♀; les cerques de cette espèce, contrairement à ceux de *R. nasuta* sont obtus à l'apex.

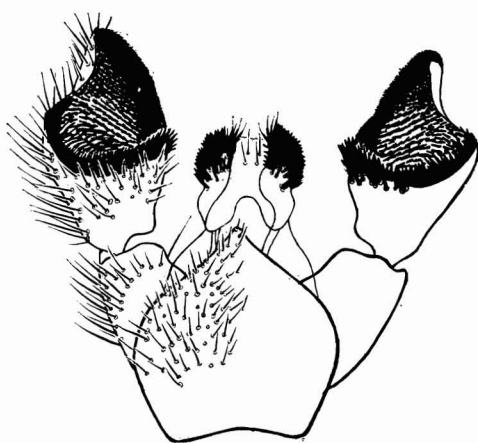
Ralytupa penicillata, n. sp.

Holotype ♂. — Longueur de l'aile : 6 mm. Tête : occiput roux; calus ocellaire noir, bien délimité. Antennes uniformément jaunes. Face et palpes jaunes.

Thorax : scutum roux, unicolore; bandes dénudées paracrosticales très nettes, prolongées sur près de la moitié antérieure du scutum. Scutellum



74



75



76

FIG. 74-76. — Fig. 74 : *R. fissiterga* (MAT.), hypopyge ♂, vue dorsale, $\times 117$; fig. 75 : *R. assimilis* (MAT.), *id.*, $\times 56$; fig. 76 : *R. nasuta*, n. sp., *ibid.*, $\times 160$.

et postnotum jaune roux. Pleures, hanches et pattes jaunes, tarsi assombrés; éperons bruns. Protarse et tibia I de même longueur. Ailes jaunes, distinctement et fortement assombries à l'apex. Sc se terminant distinctement avant la base de Rs. Fusion radio-médiane plus de deux fois plus longue que le pétiole de la fourche médiane (2 : 0,9). Balanciers jaune roux.

Abdomen : tergites jaune roux, les sternites d'un jaune plus clair. Hypopyge (fig. 50) jaune roux; style : fig. 53.

VARIATIONS : le paratype porte sur le scutum trois bandes longitudinales rousses peu distinctes; les tergites abdominaux tirent sur le rouge.

Holotype ♂ : Côte d'Ivoire, Lamto, sur *Olyra*, 5.x.1970, 20 h (*D. Lachaise*); 1 paratype ♂ : Ghana, Aburi, 1912-1913 (*W. H. Patterson*). Holotype au Muséum d'Histoire naturelle, Paris, paratype au British Museum (Nat. Hist.).

L'espèce fait partie du groupe *compacta* - *virgulta*, dont les terminalia ♂♂ sont de même type. Elle se distingue notamment de *compacta* par les ailes fortement tachées, mais ne pourra guère se séparer de *virgulta* que par l'examen des genitalia.

Ralytupa pugiata, n. sp.

Holotype ♂. — Longueur de l'aile : 5 mm. Tête : occiput jaune roux, luisant; calus ocellaire noir, bien délimité, non pétiolé, une légère tache brune de chaque côté, mais ne rejoignant pas les marges oculaires. Front jaune orangé. Antennes : scape et pédicelle jaune roux, flagelle brisé. Face et palpes jaunes.

Thorax : scutum jaune roux, luisant, séparé en deux par une étroite ligne longitudinale médiane brune (fig. 13). Bandes dénudées paracrosticales visibles seulement en avant. Scutellum et postnotum jaune roux, tous deux assombrés sur la ligne médiane par la prolongation de la bande scutale. Hanches jaune roux, les postérieures plus rousses. Pattes jaune roux, tarsi assombrés; éperons bruns. Protarse et tibia I de même longueur. Ailes jaunes, sans taches. Fusion radio-médiane atteignant plus du double de la longueur du pétiole de la fourche médiane (2,3 : 1,1). Balanciers jaune roux.

Abdomen jaune roux, tergites luisants. Hypopyge (fig. 68) jaune roux; style : fig. 70.

Holotype ♂ : Sudan, Equatoria, Li Rangu, 6.v.1948 (NMSG 134); U.S. National Museum, Washington.

Cette espèce est très bien caractérisée par la forte dent triangulaire noire que portent les styles. Si la ligne mésonotale médiane prolongée sur le scutellum et le mésophragme s'avère un caractère chromatique constant, elle permettra aussi une reconnaissance facile de l'espèce.

Ralytupa pyrrophaea (MATILE), n. comb.

Orfelia (*Ralytupa*) *pyrrophaea* MATILE, 1970 : 803 (♂, hypopyge, fig. 42); 1974 a : 943 (♀, ovipositeur, fig. 24; sternite VIII, fig. 28; plaque postgénitale, fig. 31).

♂ ♀. — Longueur de l'aile : 6-7,3 mm. Tête : occiput jaune roux; calus ocellaire noir, bien délimité, longuement pétiolé ou non. Front jaune, luisant. Antennes : scape et pédicelle jaunes, flagelle roux, les derniers articles assombris. Face et palpes jaunes.

Thorax : scutum jaune roux, luisant, sans bandes ou parfois avec deux taches brunes préscutellaires, sauf un exemplaire du Ghana qui porte trois bandes longitudinales rousses bien distinctes. Bandes dénudées paracrosticales étendues sur le quart antérieur du scutum. Scutellum, postnotum, pleures, hanches et pattes jaune roux, tarsi assombris; éperons noirs. Protarse I plus long que le tibia I (5,7 : 5). Ailes jaunes, légèrement assombries à l'apex. Pétiole de la fourche médiane plus court que la fusion radio-médiane (1,8 : 2,2). Balanciers roux.

Abdomen uniformément jaune roux. Hypopyge (fig. 66) et ovipositeur (fig. 79) brun sombre. ♂, style : fig. 67; ♀, sternite VIII : fig. 89, cerque : fig. 90, plaque postgénitale : fig. 91.

Holotype ♂ : République centrafricaine, département de la Lobaye, forêt de Mbalé, 7.IX.1967 (*L. Matile*). Allotype ♀ : La Makobé, 26.IX.1970 (*L. Matile*). Muséum d'Histoire naturelle, Paris.

Localités publiées : localité type (*Matile*, 1970). République centrafricaine, La Maboké, 17.IX.1970, 1 ♂ à la lumière du Laboratoire; 25.IX.1970, 1 ♂; 26.IX.1970, 2 ♀♀ + l'allotype (*Matile*, 1974 a).

Nouvelles localités : Ghana, Aburi, 1912-1913, 1 ♂ (*W. H. Patterson*); Uganda, Namanve, 5.X.1934, 1 ♂ (*J. Ford*) (British Museum).

RÉPARTITION : Forêts ombrophiles, d'Afrique occidentale à l'Afrique orientale.

Ralytupa simplicistyla, n. sp.

Holotype ♂. — Longueur de l'aile : 4 mm. Tête : occiput roux, luisant; calus ocellaire noir, bien délimité, relié par des taches brun noir à la marge oculaire. Front roux, luisant. Antennes : scape, pédicelle et flagelle roux, sauf les quatre derniers articles flagellaires, brunis. Face jaune, palpes roux.

Thorax : scutum jaune roux, portant trois larges bandes longitudinales d'un roux plus sombre, mal délimitées, la médiane prolongée jusqu'à la marge antérieure, où elle est très large, les latérales confondues en arrière. Bandes dénudées paracrosticales distinctes, prolongées sur près de la moitié du scutum. Scutellum et postnotum jaune roux. Pleures jaunes. Hanches et pattes jaune roux, tarsi plus sombres; éperons noirs. Protarse I plus

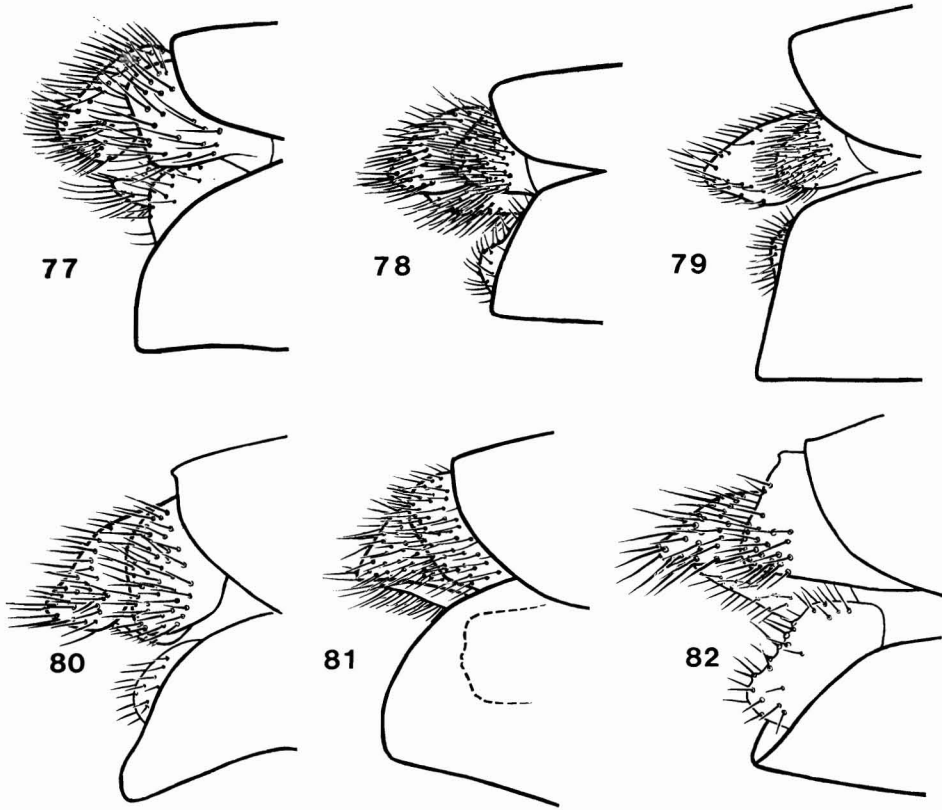


FIG. 77-82. — Fig. 77 : *R. assimilis* (MAT.), ovipositeur, vue latérale, $\times 66$; fig. 78 : *R. angusta*, n. sp., id., $\times 55$; fig. 79 : *R. pyrrophaea* (MAT.), *ibid.*, $\times 66$; fig. 80 : *R. gromieri* (MAT.), $\times 56$; fig. 81 : *R. insidiosa* (MAT.), *ibid.*, $\times 66$; fig. 82 : *R. vittigera* (MAT.), *ibid.*, $\times 73$.

long que le tibia I (3,4 : 3). Ailes jaunes, légèrement enfumées à l'apex. Fusion radio-médiane plus longue que le pétiole de la fourche médiane (2 : 1,6). Balanciers roux.

Abdomen unicolore, jaune roux. Hypopyge (fig. 24) concolore; style : fig. 26.

Allotype ♀ : semblable au ♂, mais les bandes mésonotales peu nettes en avant. Ovipositeur (fig. 100) roux.

VARIATIONS : le paratype ♂ du Liberia porte des bandes mésonotales plus sombres, brun roux, et plus nettes (fig. 15); la fusion radio-médiane atteint presque le double de la longueur du pétiole de la fourche médiane. Le paratype ♀ d'Uganda n'a de bandes mésonotales distinctes qu'en arrière et latéralement, l'ornementation étant ainsi réduite à deux taches présutellaires allongées (comme sur la fig. 14).

Holotype ♂ : Uganda, Entebbe, Lakeside swamps, 16.x.1971 (*H. Falke*); allotype ♀ : *id.*, Entebbe, piège de Malaise, 9.xi.1971 (*H. Falke*); 1 paratype ♀ : *ibid.*, 20.vi.1972; 1 paratype ♂ : Nigeria, Ogoja, 25.vi.1958 (*R. W. Meyer*); 1 paratype ♂ : Liberia, 850 ft., 6.viii.1945 (*M. S. Briscoe*). Holotype et allotype *in* Canadian National Collection, Ottawa, paratypes au British Museum, Londres, au Muséum d'Histoire naturelle, Paris, et U.S. National Museum, Washington.

Cette espèce à répartition très large se range, par ses terminalia ♂♂, dans le groupe *R. danielae*. Elle se sépare de *R. flaviscapularis* (MAT.) et *R. lindneri* (MAT.) par l'absence de coloration noire ou brune sur le scutum et l'abdomen, de *R. danielae* par la présence de bandes mésonotales, la fusion radio-médiane plus longue et les ailes moins tachées, et des trois espèces par la forme très simple du style ♂.

Ralytupa subminor, n. sp.

Holotype ♂. — Longueur de l'aile : 3,2 mm. Tête : occiput brun jaunâtre ; calus ocellaire noir, bien délimité mais relié aux marges oculaires par deux taches brunes. Front jaune. Antennes entièrement jaunes. Face et palpes jaunes.

Thorax : scutum jaune, portant trois bandes longitudinales peu distinctes, jaune grisâtre, les latérales confondues en arrière. Bandes nues paracrosticales pratiquement nulles. Scutellum, postnotum et pleures jaunes. Hanches et pattes jaunes, tibias et tarses assombris; éperons brun noir. Protarse I un peu plus long que le tibia I (4,7 : 4,2). Ailes jaunes, légèrement enfumées de brun à l'apex. Fusion radio-médiane plus longue que le pétiole de la fourche médiane (1,2 : 0,9). Balanciers jaunes.

Abdomen uniformément jaune, sauf l'apex du segment prégénital, brun. Hypopyge (fig. 30) brun noir; style : fig. 39.

Allotype ♀ semblable à l'holotype, mais les bandes mésonotales très distinctes et les bandes paracrosticales visibles à la marge antérieure du mésonotum. Ovipositeur (fig. 101) brun noir.

VARIATIONS : les bandes mésonotales sont plus ou moins nettes, parfois très distinctes, ou au contraire absentes. Les bandes paracrosticales sont parfois visibles en avant; les derniers articles du flagelle antennaire sont souvent légèrement assombris.

Holotype ♂ et allotype ♀ : Nigeria, Ibadan, Malaise trap, 12.vii.1962 (*D. C. Eidd*). Paratypes : *id.*, 4.vii, 1 ♂; 5.vii, 1 ♂; 7.vii, 1 ♂; 8.vii, 1 ♂, 1 ♀; 10.vii, 2 ♂♂; 11.vii, 2 ♂♂, 1 ♀; 12.vii, 2 ♂♂; 15.vii, 2 ♂♂; 16.vii, 2 ♂♂; 18.vii, 1 ♂; 20.vii, 1 ♂; 8.viii, 2 ♂♂; 9.viii, 1 ♂; 11.viii, 1 ♂; 12.viii, 1 ♂; 19.viii, 1 ♂; 21.viii, 3 ♂♂; 22.viii, 2 ♂♂; 23.viii, 3 ♂♂; 24.viii, 1 ♂; 25.viii, 7 ♂♂; 26.viii., 7 ♂♂, 1 ♀; 27.viii, 6 ♂♂; 29.viii, 5 ♂♂, 1 ♀; 31.viii, 7 ♂♂; 1.ix, 3 ♂♂; 2.ix, 2 ♂♂, 1 ♀; 3.ix, 3 ♂♂; 6.ix, 1 ♂; 7.ix, 4 ♂♂; 8.ix, 3 ♂♂, 1 ♀; 9.ix, 3 ♂♂; 10.ix, 3 ♂♂; 12.ix, 3 ♂♂; 14.ix, 1 ♂; 20.ix, 1 ♂; 15.x, 1 ♂; 24.x, 1 ♀; 30.x, 1 ♂; sans date, 2 ♂♂. Holotype, allotype et para-

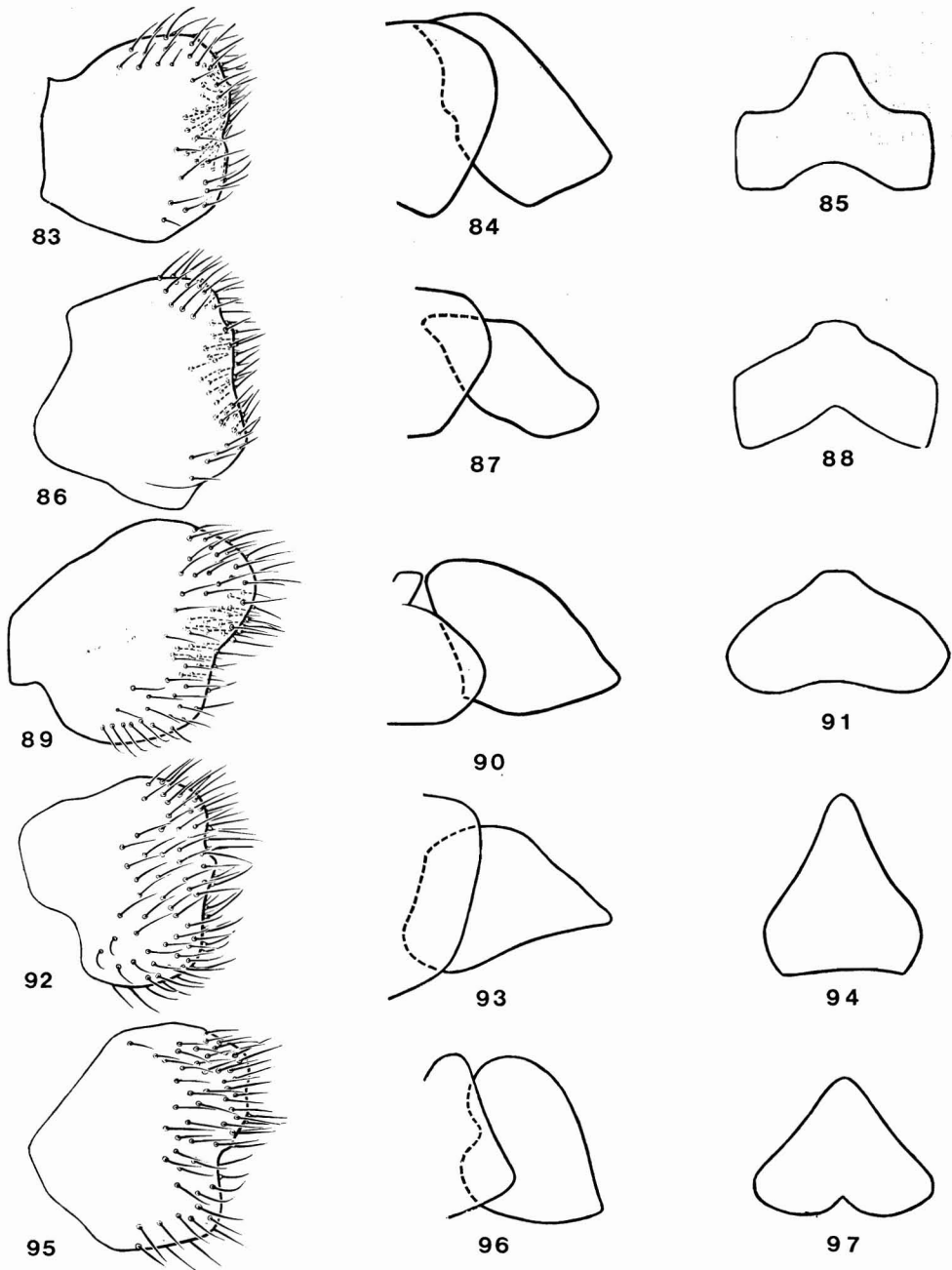


FIG. 83-97. — Fig. 83 : *R. assimilis* (MAT.), ♀, sternite VIII, × 78; fig. 84 : d^o, cerque, × 86; fig. 85 : d^o, plaque post-génitale, × 78; fig. 86 : *R. gromieri* (MAT.), ♀, sternite VIII, × 78; fig. 87 : d^o, cerque, × 86; fig. 88 : d^o, plaque post-génitale, × 78; fig. 89 : *R. pyrrophaea* (MAT.), ♀, sternite VIII, × 78; fig. 90 : d^o, cerque, × 86; fig. 91 : d^o, plaque post-génitale, × 78; fig. 92 : *R. insidiosa* (MAT.), ♀, sternite VIII, × 129; fig. 93 : d^o, cerque, × 129; fig. 94 : d^o, plaque post-génitale, × 78; fig. 95 : *R. angusta*, n. sp., ♀, sternite VIII, × 86; fig. 96 : d^o, cerque, × 86; fig. 97 : d^o, plaque post-génitale, × 78.

types à l'Entomology Research Institute, Ottawa, sauf 12 paratypes ♂♂ et 1 type ♀ au Muséum d'Histoire naturelle, Paris.

Par ses terminalia ♂♂, *R. subminor* est proche de *R. minor*, *major*, *melanopyga*, *flavonigra* et *medleri* et ne se distinguera guère de ces espèces, surtout de *minor*, que par l'examen des pièces génitales.

***Ralytupa theobromaphila* (MATILE), n. comb.**

Orfelia (Ralytupa) theobromaphila MATILE, 1970 : 803 (♂, hypopyge, fig. 41); 1974 a : 944 (♂, style : fig. 35).

♂♂. — Longueur de l'aile : 3,6-5,6 mm. Tête : occiput jaune roux; calus ocellaire noir, bien délimité, légèrement pétiolé. Front jaune roux. Antennes uniformément jaune roux, ainsi que la face et les palpes.

Thorax : scutum uniformément jaune roux, sans bandes. Bandes paracrosticales larges, étendues sur le tiers antérieur du scutum. Scutellum, postnotum, pleures et hanches jaune roux. Pattes jaunes, tarsi assombris. Protarse I plus long que le tibia I (6,5 : 5). Éperons bruns. Ailes jaunes, sans taches. Pétiole de la fourche médiane aussi long que la fusion radio-médiane. Balanciers jaunes.

Abdomen uniformément jaune roux. Hypopyge (fig. 45) noir; style : fig. 49.

Holotype ♂ : Cameroun, Yaoundé, Ahala II, test Cacao, 19.x.1967 (*Ph. Bruneau de Miré*), au Muséum d'Histoire naturelle, Paris.

Localités publiées : localité type (*Matile*, 1970). Cameroun, région de Yaoundé, Mont Kala, 800 m, bord de ruisseau, 27.x.1970, 1 ♂ (*L. Matile*) (*Matile*, 1974 a).

Nouvelles localités : Nigeria, Ogoja, on window, 23.vi.1958, 2 ♂♂ (n° 2864 et 2865, *R. W. Meyer*); Yaba, 21.x.1910, 1 ♂ (*Dr. W. M. Graham*) (British Museum); Ibadan, Malaise trap, vii.1962, 1 ♂ (*D. C. Eidt*) (Entomology Research Institute, Ottawa).

RÉPARTITION : Bloc forestier guinéo-congolais.

R. theobromaphila appartient au groupe *gromieri*, dont les espèces ne se séparent que grâce aux pièces génitales. L'espèce diffère de toutes les autres par la largeur des styles.

***Ralytupa virgulta*, n. sp.**

Holotype ♂. — Longueur de l'aile : 4,8 mm. Tête : occiput jaune orangé; calus ocellaire noir, très nettement délimité. Front jaune orangé. Antennes : scape et pédicelle jaune, flagelle brisé. Face jaune, palpes jaune orangé.

Thorax : scutum jaune orangé, luisant, sans bandes. Bandes dénudées paracrosticales nettes, étendues sur le tiers antérieur. Scutellum, postnotum

et pleures jaune orangé, ainsi que les hanches. Pattes jaunes, tarsi assombris; éperons brun noir. Protarse et tibia I de même longueur. Ailes jaunes, très distinctement brunies à l'apex. Se se terminant au niveau de la base de Rs. Pétiole de la fourche médiane deux fois plus court que la fusion radio-médiane. Balanciers jaune orangé.

Abdomen unicolore, orangé. Hypopyge (fig. 52) concolore; style : fig. 55.

Holotype ♂ : Ghana, Obuasi, Ashanti, "caught in dense bush" 21.VIII.1907 (Dr. W. M. Graham), au British Museum (Nat. Hist.).

Cette espèce appartient par ses terminalia ♂♂ au groupe d'*O. compacta*, n. sp. et *penicillata*, n. sp. Elle se sépare de ces deux espèces par la forme du style ainsi que, pour la première, par les ailes tachées. Elle est surtout très proche d'*O. penicillata*, qui existe aussi au Ghana, et dont elle ne pourra se distinguer facilement que par l'examen des genitalia.

Ralytupa vittigera (MATILE), n. comb.

Orfelia (*Ralytupa*) *vittigera* MATILE, 1970: 809 (♀, ovipositeur, fig. 51).

Holotype ♀. — Longueur de l'aile : 5,6 mm. Tête : occiput jaune orangé, brun sur le disque; calus ocellaire noir, indistinctement séparé de l'occiput en arrière et relié aux marges oculaires par deux taches brunes. Front orangé, luisant. Antennes : scape, pédicelle et base du premier article flagellaire orangés, flagelle brun. Face et palpes jaunes.

Thorax : scutum jaune, portant trois bandes longitudinales brunes bien délimitées, la médiane complète antérieurement, interrompue avant la marge postérieure, les latérales entières, mais interrompues en avant au niveau des calus huméraux. Pas de bandes dénudées paracrosticales. Scutellum brunâtre. Postnotum, pleures et hanches jaune orangé. Pattes jaunes, tarsi assombris, éperons noirs. Tibia I plus court que le protarse I (d'un tiers). Ailes jaunes, enfumées à l'apex et le long de la marge postérieure. Pétiole de la fourche médiane aussi long que la fusion radio-médiane. Balanciers : pédicelle jaune, capitule jaune orangé.

Abdomen jaune brunâtre, les tergites I-V portant une étroite bande apicale d'un jaune plus clair. Ovipositeur (fig. 82) jaune.

Holotype ♀ : Cameroun, Yaoundé, rocher de Nkolbisson, 27.VII.1967 (*L. Matile*). Muséum d'Histoire naturelle, Paris.

Localité publiée : localité type.

RÉPARTITION : Cameroun.

Ralytupa woltheri (LINDNER), n. comb.

Zelmira woltheri LINDNER, 1958 : 2.

Orfelia (*Ralytupa*) *woltheri*, MATILE, 1970 : 798.

♂♂. — Longueur variant de 4,50 à 10 mm. Tête : occiput jaune; calus ocellaire noir, plus ou moins bien délimité et relié aux marges oculaires

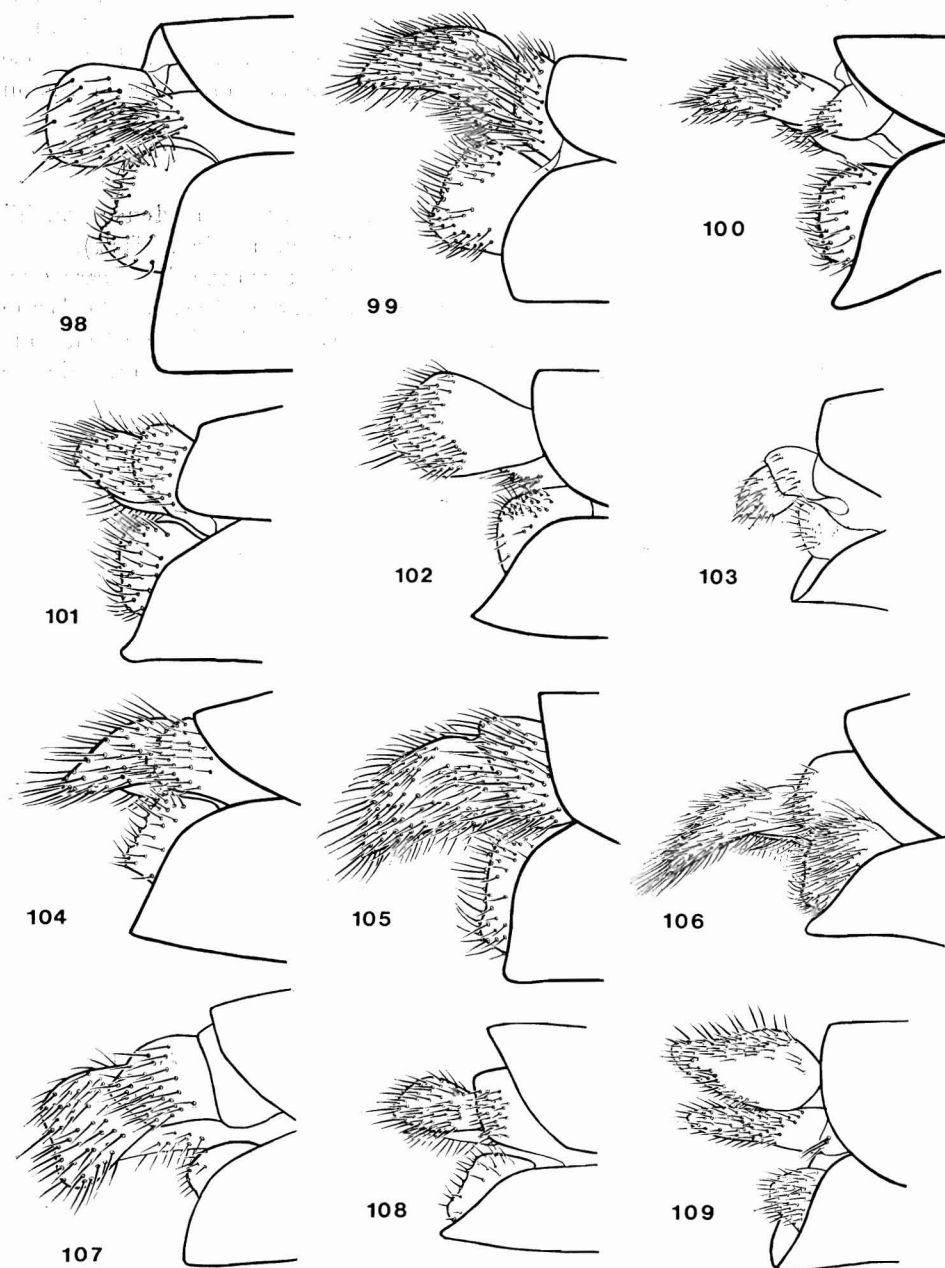


FIG. 98-109. — Fig. 98 : *R. danielae* (MAT.), ovipositeur, $\times 60$; fig. 99 : *R. flaviscapularis* (MAT.), *id.*; fig. 100 : *R. simplicistyla*, n. sp., *ibid.*; fig. 101 : *R. subminor*, n. sp., *ibid.*; fig. 102 : *R. major* (MAT.), *ibid.*, $\times 42$; fig. 103 : *R. melanopyga*, *ibid.*, $\times 55$; fig. 104 : *R. nasuta*, n. sp., *ibid.*, $\times 85$; fig. 105 : *R. dentata*, n. sp., *id.*, $\times 77$; fig. 106 : *R. denticulata* (MAT.), *ibid.*, $\times 42$; fig. 107 : *R. funebris* (MAT.), *ibid.*, $\times 55$; fig. 108 : *R. flavida* (MAT.), *ibid.*, $\times 55$; fig. 109 : *R. fumidapex* (MAT.), *ibid.*, $\times 42$.

par deux taches brunes. Front jaune roux en haut, jaune clair en bas. Antennes; scape et pédicelle jaunes, flagelle roux. Face et palpes jaunes.

Thorax : scutum jaune. Sur le type, trois bandes longitudinales brunes peu distinctes, la médiane interrompue au milieu du mésonotum, les latérales prolongées obliquement jusqu'au scutellum; sur les deux exemplaires supplémentaires examinés, seules persistent les extrémités postérieures des bandes latérales. Bandes nues paracrosticales visibles seulement à la marge antérieure. Scutellum et postnotum jaune roux, le scutellum distinctement bruni chez les spécimens des Monts Usambara. Pleures et hanches jaune plus ou moins sombre. Pattes jaunes, tarses assombris. Protarse I plus long que le tibia (4-5 : 3,3-4,3). Balanciers jaunes, capitule plus ou moins bruni. Ailes jaunes, distinctement brunies à l'apex, l'ombre plus marquée dans la cellule radiale apicale. Fusion radio-médiane d'un tiers plus longue que le pétiole de la fourche médiane.

Abdomen brun rougeâtre, plus clair à la base. Hypopyge (fig. 62) brun noir; style : fig. 64.

Holotype ♂ : Tanzanie, Msingi, 1 400 m, 1-19.v.1952 (*E. Lindner*); Staatliches Museum für Naturkunde, Ludwigsburg.

RÉPARTITION : Tanzanie.

Localité publiée : localité type.

Nouvelle localité : Tanzanie, Tango District, Usambara Mounts, Amani Malaria Station, 3 000 ft, 6.I.1970 (*M. E. Irwin & E. S. Ross*), 2 ♂♂.

REMARQUES : cette espèce est surtout proche, par les terminalia ♂♂, d'*O. bacillata*, n. sp., également d'Afrique orientale. Elle s'en sépare par les pièces génitales, la présence de bandes mésonotales et la longueur du pétiole de la fourche médiane.

SUMMARY

LOIC MATILE : Revision of the *Ralytupa* of the Ethiopian Region
[*Diptera, Mycetophilidae*]

After a brief study of the systematic position of the subgenus *Ralytupa* EDWARDS and of the related taxa, *Ralytupa* is raised to generic rank. The author illustrates by diagrams the terminology used in this paper. The genus is redefined, its distribution and taxonomy are discussed. A key is given for the 36 Ethiopian species (15 of which are new), which are described and figured.

REFERENCES

- COLLESS, D. H., 1966. — Insects of Micronesia. *Diptera : Mycetophilidae*. — *Insects of Micronesia*, 12 (6), Bernice P. Bishop Museum, Honolulu, 637-666.
- EDWARDS, F. W., 1925. — British Fungus-Gnats [*Diptera, Mycetophilidae*]. With a revised Generic Classification of the Family. — *Trans. ent. Soc. London*, 1924 (1925), 505-670.
- 1928. — *Diptera Nematocera* from the Federated Malay States Museums. — *Journ. Fed. Malay St. Mus.*, 14, 1-139.
- 1929. — Notes on the *Ceroplastinae*, with descriptions of new Australian species [*Diptera, Mycetophilidae*]. — *Proc. Linn. Soc. New South Wales*, 54, 162-175.
- 1941. — Notes on British fungus-gnats [*Dipt., Mycetophilidae*]. — *Ent. mon. Mag.*, 77, 21-32.

- KNIGHT, K. L., 1970. — A mosquito Taxonomic Glossary. I. Adult Head (External). — *Mosq. Syst. Newsletter*, 2 (1), 23-33.
- KNIGHT, K. L. & LAFOON, J. L., 1970-1971. — A Mosquito Taxonomic Glossary. II. Adult Head (Internal); III. Adult thorax; IV. Adult Thoracic Appendages; V. Abdomen (Except Female Genitalia); VI. Female Genitalia. — *Mosq. Syst. Newsletter*, 2 (2), 69-81; 2 (3), 132-146; 2 (4), 165-177; 3 (1), 8-24; 3 (2), 32-41.
- LANE, J., 1950. — Neotropical *Ceroplastinae* [Diptera, *Mycetophilidae*]. — *Dusenya*, 1 (1), 32-69.
— 1956. — Further notes on Neotropical “*Keroplastinae*” [Diptera, *Mycetophilidae*]. — *Rev. Brasil. Biol.*, 16 (1), 121-128.
— 1959. — Note on Neotropical “*Mycetophilidae*” [Diptera, *Nematocera*]. — *Rev. Brasil. Biol.*, 19 (2), 183-190.
- LINDNER, E., 1958. — Ostafrikanische *Fungivoridae*, *Lycoriidae* und *Bibionidae* [Dipt.]. (Ergebnisse der Deutschen Zoologischen Ostafrika-Expedition 1951-52, Gruppe Lindner-Stuttgart Nr 36). — *Stuttgarter Beitr. z. Naturk.*, 15, 1-8.
- MATILE, L., 1970. — Diptères *Mycetophilidae* du Cameroun et de République Centrafricaine. I. *Keroplastinae*. — *Bull. Inst. fond. Afr. n.*, 32, sér. A, (3), 773-816.
— 1973 a. — Diptères *Mycetophilidae* de l'Afrique orientale (Ergebnisse der Forschungsreise Lindner 1958-1959, Nr 26). — *Stuttgarter Beitr. z. Naturk.*, 250, Déc. 1972 (1973), 1-6.
— 1973 b. — *Mycetophilidae* [Diptera] de Fernando-Póo. — *Bull. Mus. nat. Hist. nat.*, 3^e sér., (111), janv.-févr. 1973, *Zool.* 85, 189-213.
1974 a. — Diptères *Mycetophilidae* du Cameroun et de République Centrafricaine. VI. *Keroplastinae* (2^e note). — *Bull. Inst. fond. Afr. n.*, 36, sér. A, (4), 917-946.
— 1974 b. — South African Animal Life. *Diptera Mycetophilidae Keroplastinae*. In Hanström, B., Brinck, P. & Rudebeck, G., South African Animal Life, 15, 511-532
- MATILE, L. & BURGHELE-BALACESCO, A., 1969. — Note sur les genres *Keroplatus* et *Cerotelion* et description de *Cerotelion racovitzai*, n. sp. — *Bull. Soc. ent. France*, 74 (3-4), 82-86.
- SÉGUY, E., 1940. — Faune de France 36 : Diptères Nématocères [*Fungivoridae*, *Lycoriidae* etc.]. — *Lechevalier*, édit., Paris, 365 p.
- STACKELBERG, A. A., 1969. — 19. *Ceroplastidae* (*Keroplastidae*). — In BEY-BIANKO, (Clé de détermination des Insectes de la partie européenne de l'U.R.S.S.), 5 (1), 258-261.
- TUOMIKOSKI, R., 1966. — Generic Taxonomy of the *Erechiini* [Dipt., *Mycetophilidae*]. — *Ann. Ent. Fenn.*, 32 (2), 159-194.

(Laboratoire d'Entomologie générale et appliquée
Muséum national d'Histoire naturelle,
45, rue de Buffon, F 75005 Paris)